

**CDR** Groupement de recherche

EMILI Étude des milieux ionisés Plasmas froids créés par décharge et laser

# Journées 2025 du GDR EMILI

27 au 30 octobre 2025 Université Jean Monnet, Saint-Etienne

Site web des journées : https://emili2025.sciencesconf.org



Site web du GDR: https://gdr-emili.cnrs.fr/

































# **Edito**

Cette année 2025 est particulière pour le GDR EMILI qui arrive au terme de ses 5 années d'existence, durée réglementaire pour les groupements de recherche du CNRS. Créé en 2021, son objectif était de contribuer à la structuration de la communauté française des plasmas/lasers. Il semblait important de promouvoir la physique des plasmas en la replaçant au centre de l'enjeu scientifique dans une communauté caractérisée par un fort éparpillement thématique, conséquence de la grande variété d'applications mettant en jeu un plasma, ainsi que d'une tendance des modes de financement à favoriser l'usage du plasma en tant qu'outil au détriment de son étude. Durant cette période, le GDR a permis aux acteurs concernés, chercheurs, ingénieurs, doctorants et post-doctorants, soit près de 350 personnes de 40 laboratoires différents, de se retrouver régulièrement pour échanger sur les aspects fondamentaux de ces milieux complexes. Nous espérons qu'au travers de ses actions, le GDR a permis à certains d'entre vous de trouver des solutions à des questionnements scientifiques, de créer de nouvelles collaborations, d'initier de nouveaux projets ou de faire émerger de nouvelles idées. Ce rôle d'animation nécessite de se projeter sur des temps longs et c'est pour cela que nous avons demandé au CNRS le renouvellement du GDR pour une nouvelle période de 5 ans, s'étendant de 2026 à 2030. A l'heure où nous écrivons ces lignes, nous n'avons pas encore le retour définitif du CNRS mais nous espérons vivement qu'il soit positif. Après avoir été créé en tant que GDR de l'INSIS rattaché à la section 10, nous pourrions ainsi repartir pour 5 ans au sein de CNRS Ingénierie et rattaché à la section 12!

L'action phare du GDR est bien entendu la tenue des Journées bisannuelles, qui ont pour ambition d'être un moment de rencontre incontournable pour la communauté française des plasmas froids et laser. Après <u>les premières Journées</u> organisées en 2021 à Palaiseau par le LPP et le LPICM, <u>les deuxièmes Journées</u> en 2023 à Nancy organisées par l'IJL, c'est à Saint-Etienne que se déroule cette <u>troisième édition</u>. Co-organisées par le LabHC et l'ILM, nous espérons qu'elles répondront à vos attentes en vous proposant un moment d'échanges prolifiques facilitant les interactions entre les participants. Ainsi, une soixantaine de participants se retrouveront autour de 28 oraux et 11 posters pour dresser un panorama des recherches actuelles dans les laboratoires français. Ces Journées seront également un lieu permettant aux jeunes chercheurs, futur de la communauté, de présenter leurs recherches et de rencontrer la communauté. Les exposés et les posters les plus convaincants des doctorants et post-doctorants seront récompensés par des prix. Les nouveaux entrants au CNRS ou dans une université auront aussi l'opportunité de présenter oralement leur parcours et leur projet de recherche. Enfin, des ateliers interactifs, sur des problématiques scientifiques ou sur l'environnement de la recherche, permettront d'échanger sur des sujets précis et sur l'évolution de nos métiers.

Les différents formats d'interventions permettront de dresser un état de l'art, d'identifier les défis qu'il reste à relever, et de présenter des sujets d'actualités ou émergeants. Afin de proposer un évènement complémentaire aux conférences traditionnelles, les participants sont encouragés à présenter des résultats inexpliqués, surprenants, contradictoires, des problèmes rencontrés dans l'utilisation de diagnostics ou de modèles numériques. L'objectif est de susciter des interrogations, de trouver des solutions auprès des autres participants ou de présenter des problèmes susceptibles d'être partagés par d'autres.

Nous remercions le LabHC et l'ILM, organisateurs locaux de l'évènement, qui ont œuvré pour que tout se déroule pour le mieux, nos tutelles pour leur soutien financier, et les nombreux sponsors qui nous ont une fois de plus accordé leur confiance. Nous tenons également à remercier l'Université Jean Monnet pour l'accès au bâtiment des Forges.

Ce recueil de résumés permet de faire un point d'étape des recherches actuellement menées dans les laboratoires de la communauté. Nous vous en souhaitons une bonne lecture.





# Comité de pilotage du GDR / Comité de programme

David AMANSILMVilleurbanneStéphane BECHULPSCGrenobleBruno BOUSQUETCELIATalence

Arnaud BULTEL CORIA St Etienne du Rouvray

Gilles CARTRYPIIMMarseilleXavier DUTENLSPMVilletaneuseRim ETTOURIIMNNantes

Gwénaël FUBIANI LAPLACE Toulouse
Laurent GARRIGUES LAPLACE Toulouse
Jörg HERMANN LP3 Marseille
Tatiana ITINA LabHC Saint-Etienne

Grégory MARCOS IJL Nancy

Armelle MICHAU LSPM Villetaneuse

Maxime MIKIKIAN GREMI Orléans

Vincent RAT IRCER Limoges

Pierre TARDIVEAU LPGP Orsay

Corinne DELHAYE (Gestion du GDR) GREMI Orléans

# Comité local d'organisation

**Tatiana ITINA** 

Stéphane CRIEDLICH Ciro D'AMICO Assia MADJID

Véronique REVEILLE

**Patrick VINCENT** 



Laboratoire





# **Sponsors**























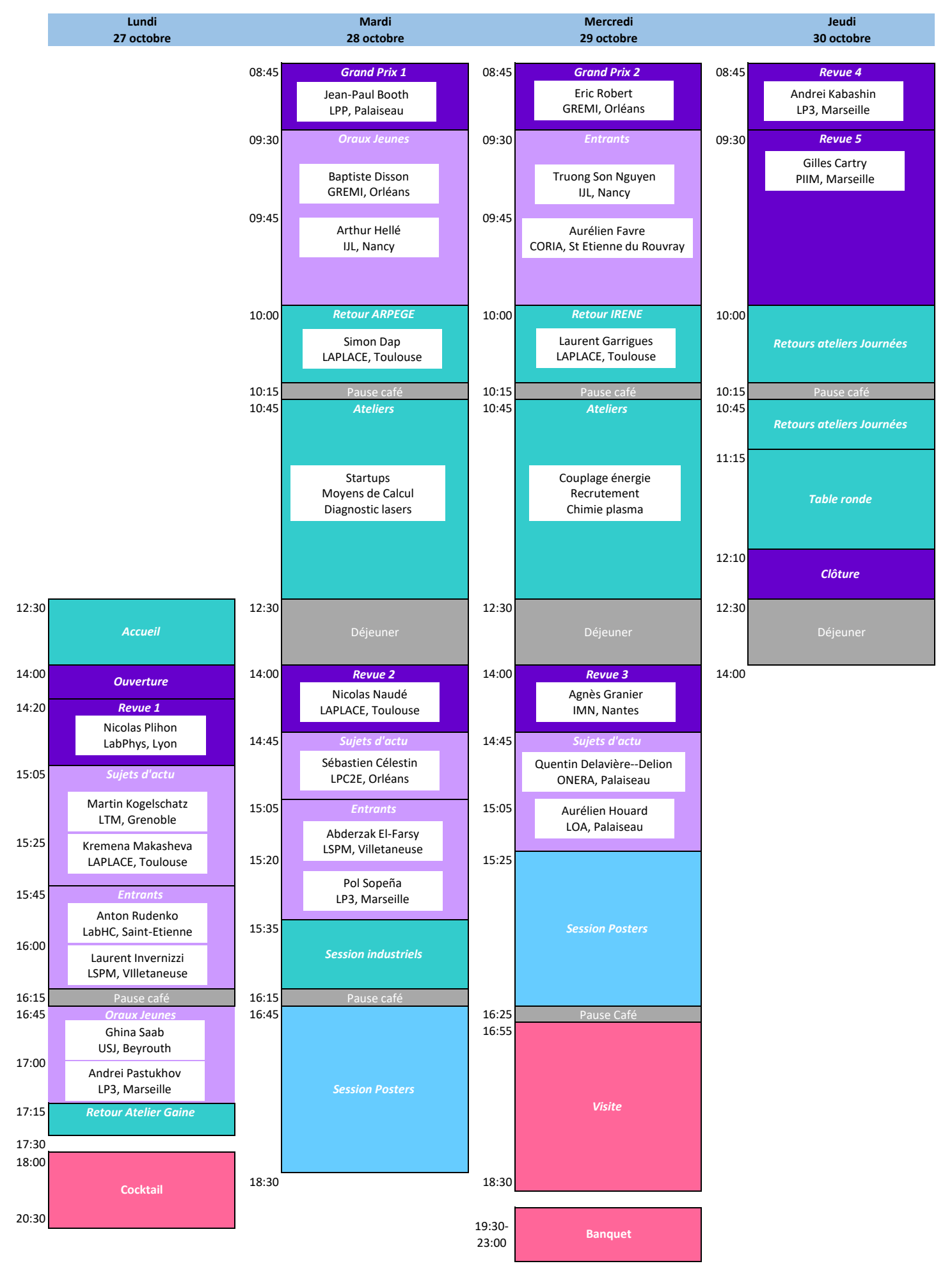
















# Lundi 27 octobre

12:30	Accueil Accueil	
14:00	Ouverture	
14:20	Revue	
14:20	Contrôle du potentiel plasma et contrôle de la rotation des colonnes de plasma magnétisées basse pression	Nicolas Plihon LabPhys, Lyon
15:05	Sujets d'actu	
15:05	Spectroscopie d'absorption UV pour étudier le rôle des radicaux CF pendant la gravure cryogénique du Si dans des plasmas CF4	Martin Kogelschatz LTM, Grenoble
15:25	Procédés plasmas multi-échelle : quelles stratégies pour le dépôt de couches minces nanocomposites ?	Kremena Makasheva LAPLACE, Toulouse
15:45	Oraux Entrants	
15:45	Photo-induced plasma confinement in ultrashort laser-excited nanostructures	Anton Rudenko LabHC, Saint-Etienne
16:00	Parcours d'un IR : de la thèse sur les plasmas froids aux diagnostics laser avancés	Laurent Invernizzi LSPM, Villetaneuse
16:15	Pause café	
16:45	Oraux Jeunes	
16:45	Modeling Plasma–Dust Interactions in Argon CCRF Discharges	Ghina Saab USJ, Beyrouth
17:00	Alternative plasmonic nanomaterials based on transition metal nitrides: laser-ablative fabrication and appealing prospects for biophotonic applications	Andrei Pastukhov LP3, Marseille
17:15	Retour Ateliers	
17:15	Retour sur l'atelier Gaines - Marseille, Novembre 2024	Maxime Mikikian GREMI, Orléans
17:30	Fin de la journée	
18:00	Cocktail de bienvenue	

#### Mardi 28 octobre

08:45		Grand Prix			
	Improving our understanding of plasma-surface interactions through in-situ measurements		Jean-Paul Booth		
	and the state of t	Once there are	LPP, Palaiseau		
09:30		Oraux Jeunes	Baptiste Disson		
09:30	Claquage aux distances sub-micromètrique : si Paschen avait su		GREMI, Orléans		
09:45	Diagnostic de plasmas d'arc en courant continu en conditions aéronautiques : application à la dé	étection	Arthur Hellé		
10:00		Retour ARPEGE	IJL, Nancy		
	Managed disharesting in at CDDC date day DDD at CO2 are defended. Towards	Netoul ANY EGE	Simon Dap		
10:00	Mesures d'absorption IR et CRDS dans des DBD en CO2 en régime de Townsend		LAPLACE, Toulouse		
10:15		Pause café			
10:45		Ateliers en //			
	Startups	Xavier Duten (LSPM, Villetaneuse), David Amans (ILM, Lyon), Christian Roux (CNR	S Rhône Auvergne), Karim Ouaras (LPICM,		
	Startups	Palaiseau), François Lux (ILM, Lyon)	(0510) 0 1) 1 2 3		
	Moyens de calcul	Rim Ettouri (IMN, Nantes), Laurent Garrigues (LAPLACE, Toulouse), Guillaume Leci (IDRIS. Orsav)	nantre (GENCI, Paris), Juan Jose Silva Cuevas		
	Diagnostics optiques des plasmas	Grégory Marcos (IJL, Nancy), Maxime Mikikian (GREMI, Orléans), Cédric Noël (IJL,	Nancy), Laurent Invernizzi (LSPM,		
	Diagnostics optiques des plastilas	Villetaneuse), Gabi Stancu (EM2C, Gif-sur-Yvette)			
12:30		Déjeuner			
14:00		Revue			
	Décharges à Barrières Diélectriques : plus d'un siècle d'histoire et toujours de nouvelles perspec		Nicolas Naudé		
	becharges a barrieres bielectriques : plas a an siècle à ristoire et toujours de nouvelles perspec		LAPLACE, Toulouse		
14:45		Sujets d'actu	Sébastien Célestin		
14:45	Des fantômes verts dans les farfadets ?		LPC2E, Orléans		
15:05		Oraux Entrants			
15:05	Développement des microplasmas réactifs pour la synthèse des nanoparticules dans la phase ga	azeuse : mécanismes de production et optimisation du procédé	Abderzak El-Farsy		
			LSPM, Villetaneuse Pol Sopeña		
15:20	Modification de matériaux semi-transparents par lasers à impulsions ultra-brèves		LP3, Marseille		
15:35		Session Industriels			
			Laser Components		
15:35	Présentation de l'entreprise et de ses produits		Neyco		
			Opton Laser		
16:15		Pause café			
16:45		Session Posters			
10.43	Atomistic investigation of the oxidation and laser synthesis of nickel nanoparticles - Abderrazak				
	Characterization of Nanoparticle Growth and Plasma Chemistry in Methane/Argon Capacitively				
	Characterization of the liquid surface deformation resulting from a pin-water discharge using fro	• • • • • • • • • • • • • • • • • • • •			
	Guide d'onde plasma généré par filamentation laser dans l'air - Nicolas Cantonnet-Paloque (LOA				
	Graine de farfanet (sprite): le streamer à deux têtes s'invite au labo - Baptiste Disson (GREMI)  Meter-scale streamer discharges assisted by femtosecond laser filamentation - Thomas Clark (LOA)				
	Première caractérisation d'un propulseur ECRA alimenté à l'iode - Quentin DelavièreDelion (Ol				
	Study of filamentation phenomenon in an atmospheric pressure microwave plasma jet - Brice Jo	ordan Ganleu Monte (IRCER)			
	Transition H-W déclenchée par injection de courant électronique - Vassili Desages (LabPhys)				
	Achieving diffuse propagation of cathodo directed surface ionization was as at a second asia area	scure over liquid water. Alexandra Priscot (EM2C)			
	Achieving diffuse propagation of cathode-directed surface ionization waves at atmospheric pres Étude de l'effet de vent ionique généré entre deux plaques dans l'air à pression atmosphérique				
		Fin de la journée			
18:30					





				1: 20	٠		bre
IV	пе	(4	<b>(4)</b>	11 23	, cic	ню	nre

08:45		Grand Prix			
	Physique des plasmas et alimentations impulsionnelles : un couple clef pour aborder les aspects		Eric Robert		
09:30		Oraux Entrants	GREMI, Orléans		
	Plasma-liquid interaction for water activation and decontamination	Ordex Endants	Truong Son Nguyen		
09:45	Les plasmas induits par laser pour la quantification d'éléments légers en rétention dans les méta	aux – applications nucléaires	Aurélien Favre CORIA, St-Etienne du Rouvray		
10:00		Retour IRENE			
10:00	Avancées du projet IRENE		Laurent Garrigues LAPLACE, Toulouse		
10:15		Pause café			
10:45		Ateliers en //			
	Couplage d'énergie	Xavier Duten (LSPM), Fabrice Bouterige (isi électronique)			
	Chimie des plasmas	Armelle Michau (LSPM), Maxime Mikikian (GREMI), Arnaud Bultel (CORIA), Chirstophe Cardi	naud (IMN), Arlette Vega (LSPM)		
	Recrutements sur des postes académiques	Tatiana Itina (LabHC), Rim Ettouri (IMN)			
12:30		Déjeuner			
14:00		Revue			
14:00	Diagnostics in situ d'un procédé plasma de dépôt de couches minces nanocomposites par injecti	on d'une solution colloïdale dans un plasma basse pression	Agnès Granier IMN, Nantes		
14:45		Sujets d'actu			
14:45	Évolution temporelle des fonctions de distribution des ions sous l'action des instabilités du plas	ma : application au propulseur de Hall	Quentin DelavièreDelion ONERA, Palaiseau		
15:05	Plasmas produits par filamentation laser dans l'air : dernières avancées et nouveaux challenges		Aurélien Houard LOA, Palaiseau		
15:25		Session Posters			
15:25	Voir session du mardi				
16:25		Pause café			
16:55	Visite LAbHC				
18:30		Fin de la journée			
19:30- 23:00		Banquet			

## Jeudi 30 octobre

08:45	Revue	
08:45	Novel advanced laser-synthesized nanomaterials for healthcare and energy: design, fabrication and applications	Andrei Kabashin LP3, Marseille
09:30	Revue	
09:30	Diagnostic de l'état de surface par photoemission in situ: quel intérêt pour l'étude des interactions plasmas surface ?	Gilles Cartry PIIM, Marseille
10:00	Retour Ateliers	
10:00	Sref retour sur les ateliers en //	
10:15	Pause café	
10:45	Retour Ateliers	
10:45	Sref retour sur les ateliers en //	
11:15	Table ronde	
12:10	Clôture	
12:30	Déjeuner	
14:00	Fin de la journée	

# Table des matières

Gra	ands prix	Lõ
	Atom recombination on surfaces in plasmas - an experimental study, Booth Jean-Paul	15
	Physique des plasmas et alimentations impulsionnelles : un couple clef pour aborder les aspects fondamentaux et développer des applications innovantes, Robert Eric [et al.]	16
Exp	oosés de revue	17
	Contrôle du potentiel plasma et contrôle de la rotation des colonnes de plasma magnétisées basse pression., Plihon Nicolas	19
	Décharges à Barrières Diélectriques : plus d'un siècle d'histoire et toujours de nouvelles perspectives, Belinger Antoine [et al.]	20
	Diagnostics in situ d'un procédé plasma de dépôt de couches minces nanocomposites par injection d'une solution colloïdale dans un plasma basse pression, Granier Agnès [et al.]	21
	Novel advanced laser-synthesized nanomaterials for healthcare and energy: design, fabrication and applications, Kabashin Andrei	22
	Production d'ions négatifs d'hydrogène en surface dans des plasmas à basse pression, Cartry Gilles [et al.]	23
Suje	ets d'actualité	<b>25</b>
	UV absorption spectroscopy to study the role of CF radicals during cryogenic etching of Si in CF4 plasmas, Kogelschatz Martin	27
	Procédés plasmas multi-échelle : quelles stratégies pour le dépôt de couches minces nanocomposites ?, Makasheva Kremena [et al.]	28
	Mesures d'absorption IR et CRDS dans des DBD en CO2 en régime de Townsend, Dap Simon [et al.]	29
	Des fantômes verts dans les farfadets ?, Celestin Sebastien	30
	Évolution temporelle des fonctions de distribution des ions sous l'action des instabilités du plasma : application au propulseur de Hall, Delavière-Delion Quentin .	31
	Plasmas produits par filamentation laser dans l'air : dernières avancées et nouveaux challenges, Houard Aurélien	32
Ora	aux - Entrants	33
	Photo-induced plasma confinement in ultrashort laser-excited nanostructures, Rudenko Anton	35
	Parcours d'un IR : de la thèse sur les plasmas froids aux diagnostics laser avancés, Invernizzi Laurent	36

	Modification de matériaux semi-transparents par lasers à impulsions ultra-brèves, Se Pol
	Plasma – liquid interaction for water activation and decontamination, Nguyer Truong Son
	Les plasmas induits par laser pour la quantification d'éléments légers en rétention dans les métaux – applications nucléaires, Favre Aurélien [et al.]
Or	aux - Jeunes
	${\it Modeling \ Plasma-Dust \ Interactions \ in \ Argon \ CCRF \ Discharges, \ Saab \ Ghina}  .  .$
	Alternative plasmonic nanomaterials based on transition metal nitrides: laserablative fabrication and appealing prospects for biophotonic applications, Pastukhov Andrei [et al.]
	Claquage aux distances sub-micromètrique : si Paschen avait su, Disson Baptiste [et al.]
	Diagnostic de plasmas d'arc en courant continu en conditions aéronautiques : application à la détection, Hellé Arthur [et al.]
Po	sters
	Atomistic investigation of the oxidation and laser synthesis of nickel nanoparticles, Toulil Abderrazak [et al.]
	Characterization of Nanoparticle Growth and Plasma Chemistry in Methane/Argor Capacitively Coupled RF Plasma, Daher Abdel Rahman [et al.]
	Characterization of the liquid surface deformation resulting from a pin-water discharge using free-surface synthetic Schlieren, Dyson Fredric [et al.]
	Guide d'onde plasma généré par filamentation laser dans l'air, Cantonnet-Paloque Nicolas
	Graine de farfanet (sprite): le streamer à deux têtes s'invite au labo, Disson Baptiste [et al.]
	Meter-scale streamer discharges assisted by femtosecond laser filamentation, Clark Thomas
	Première caractérisation d'un propulseur ECRA alimenté à l'iode, Delavière-Delior Quentin [et al.]
	Study of filamentation phenomenon in an atmospheric pressure microwave plasma jet., Ganleu Monte Brice Jordan [et al.]
	Transition H-W déclenchée par injection de courant électronique, Desages Vassili [et al.]
	Achieving diffuse propagation of cathode-directed surface ionization waves at atmospheric pressure, over liquid water, Brisset Alexandra [et al.]
	Étude de l'effet de vent ionique généré entre deux plaques dans l'air à pression atmosphérique par vélocimétrie par images de particules, Orriere Thomas

61

Liste des auteurs



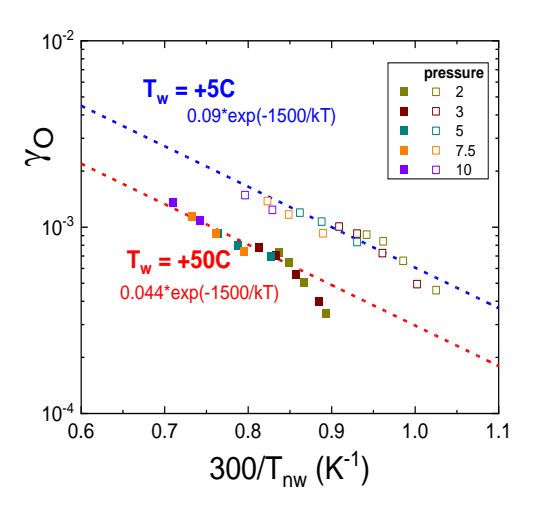
# Atom recombination on surfaces in plasmas - an experimental study

### Jean-Paul Booth<sup>1</sup>

<sup>1</sup> Laboratoire de Physique des Plasmas (LPP), CNRS, Sorbonne Université, École Polytechnique, Institut Polytechnique de Paris, Palaiseau, 91120, France mél: jean-paul.booth@lpp.polytechnique.fr

Surface-catalysed recombination of atoms and free radicals plays a key role in the plasma equilibrium for molecular plasmas in enclosed reactors. This process is routinely characterized by a surface reaction probability,  $\gamma$ , (between 0 and 1), which for simplicity is often assumed to be a constant. However, this parameter is nearly always poorly characterized, or indeed used as the adjustable variable to fit models to experimental data. Ab-initio theories are not currently able to predict surface reaction probabilities reliably, so they must be determined by in-situ measurements (either through the measurement of spatial mole-fraction gradients adjacent to the surface, or (more commonly) by time-resolved measurements in modulated plasmas).

We have made measurements of  $\gamma$  for oxygen atoms in pure  $O_2$  plasmas in different plasma devices (a DC glow discharge in a borosilicate glass tube at pressures 0.5-8 Torr, in a radiofrequency capacitively-coupled plasma reactor with aluminium electrodes at pressures 1-6 Torr, and in an inductively coupled plasma at 5-100 mTorr. The time-resolved oxygen atom density was determined by time-resolved optical emission actinometry[1], two-Photon Laser-Induced Fluorescence and monomode laser Cavity Ring Down Spectroscopy (CRDS) of the forbidden O  $^3P_2 \rightarrow ^1D_2$  transition[2] at 630nm.



**Figure. 1.** Oxygen atom surface recombination probability on borosilicate glass as a function of near-wall gas temperature.

The values of  $\gamma$  obtained are not constant, but vary considerably with O<sub>2</sub> pressure, plasma density, plasma exposure time and air leak rate. At gas pressures above 150 Pa the recombination coefficient on both borosilicate glass and oxidised aluminium surfaces is small, of the order several 10<sup>-4</sup>, and obeys an Arrhenius law with the gas temperature (activation energy of ~0.15eV) indicating an Eley Rideal mechanism. The oxygen atom decay in the afterglow is not exponential, but slows down with afterglow time. This indicates the presence of two types of surface reaction sites; stronglybound chemisorbed O and weakly-bound physisorbed O. The latter become important for high incident atom fluxes, leading to non-exponential decays. At lower gas pressures the recombination coefficient becomes much bigger, of the order 0.1 in an inductively-coupled plasma at 10 Pa. These observations suggest that energetic ion bombardment causes activation of the surfaces, strongly increasing the surface recombination probability[3].

#### Références

- [1] Booth J P, Guaitella O, Chatterjee A, Drag C, Guerra V, Lopaev D, Zyryanov S, Rakhimova T, Voloshin D and Mankelevich Y *Plasma Sources Science and Technology* 2019 **28** 055005
- [2] Booth J P, Guaitella O, Zhang S, Lopaev D, Zyryanov S, Rakhimova T, Voloshin D, Chukalovsky A, Volynets A and Mankelevich Y *Plasma Sources Science and Technology* 2023 **32** 095016
- [3] Afonso J, Vialetto L, Guerra V and Viegas P Journal of Physics D: Applied Physics 2023 57 04LT01

Statut:

# Physique des plasmas et alimentations impulsionnelles : un couple clef pour aborder les aspects fondamentaux et développer des applications innovantes

E. Robert, S. Dozias

GREMI, UMR7344, CNRS/Université d'Orléans

mél: eric.robert@univ-orleans.fr

L'exposé est motivé par l'obtention du "2025 EPS Plasma Physics Division Innovation Award" au titre de "pioneering work on atmospheric pressure plasma jets and demonstrations of plasma effects on cancer in vivo, synergetic effects of plasma treatment and chemotherapy, and plasma oxygenation of tissues, leading to hospital medical applications especially in cancer treatment and wound healing".

En amont et au-delà de ces développements récents des plasmas froids pour des applications biomédicales, l'exposé soulignera plus largement deux aspects cruciaux dans les travails menés par l'équipe depuis une vingtaine d'année :

- Le développement commun des applications des plasmas froids et des alimentations électriques impulsionnelles dédiées et optimisées pour ces recherches
- L'approche de questionnements de physique fondamentale motivée et guidée par les besoins des collaborateurs de l'équipe dans une démarche interdisciplinaire

Ces deux volets seront illustrés dans le cadre des recherches portant successivement sur les sources de rayonnement énergétiques, la physique des jets de plasma froid et les applications biomédicales en oncologie et traitement des plaies.

## Remerciements

Au titre des applications en plasma médecine, au cœur du Innovation Award, les auteurs de ce résumé tiennent à remercier les collaborateurs qui ont permis la réalisation des travaux :

M. Vandamme<sup>1,2</sup>, V. Sarron<sup>1</sup>, D. Ries<sup>1</sup>, L. Brullé<sup>2</sup>, Th. Darny<sup>1</sup>, X. Damany<sup>1</sup>, C. Douat<sup>1</sup>, Th. Maho<sup>1</sup>, S. Dozias<sup>1</sup>, A. Stancampiano<sup>1</sup>, A. Hamon<sup>1</sup>, A. Valinataj Omran<sup>1</sup>, J.M Pouvesle<sup>1</sup>, J. Sobilo<sup>2</sup>, S. Lerondel<sup>2</sup>, A. Le Pape<sup>2</sup>, G. Collet<sup>1,3</sup>, A. Lenoir<sup>1,3</sup>, C. Kieda<sup>3</sup>, V. Vijayarangan<sup>1,3</sup>, L. Ridou<sup>3</sup>, G. Busco<sup>1,3</sup>, C. Grillon<sup>3</sup>, F. Fasani<sup>3</sup>, S. Morrisset-Lopez<sup>3</sup>, F. Gosset<sup>3</sup>, A. Delalande<sup>3</sup>, C. Pichon<sup>3</sup>, J. Santos Sousa<sup>5</sup>, T.H. Chung<sup>6</sup>, L. Mir<sup>6</sup>, I. Goard<sup>7</sup>, M. Demasure<sup>7</sup>, L. Hocqueloux<sup>7</sup>, R. Binois<sup>7</sup>, T. Prazuck<sup>7</sup>, P. Viegas<sup>8</sup>, A. Bourdon<sup>8</sup>, A. M. Lietz<sup>9</sup>, M. J. Kushner<sup>9</sup>

<sup>1</sup>GREMI, CNRS/Université d'Orléans, Orléans, <sup>2</sup>TAAM-CIPA, UPS44 – CNRS, Orléans, <sup>3</sup>CBM, CNRS, Orléans, <sup>5</sup>LPGP, CNRS/Paris XI, Orsay, <sup>6</sup>VTA, CNRS/IGR, Villejuif, <sup>7</sup>SMIT, CHROrléans, Orléans, <sup>8</sup>LPP, CNRS/Polytechnique, Palaiseau, <sup>9</sup>University of Michigan, Ann Arbor, USA

Statuts: DR et IR



# Contrôle du potentiel plasma et contrôle de la rotation des colonnes de plasma magnétisées basse pression.

# N. Plihon<sup>1</sup>,

Le contrôle de la rotation d'un plasma est un élément essentiel dans de nombreuses situations. D'un point de vue fondamental, l'étude d'un grand nombre d'instabilité nécessite des écoulements contrôlés. Les applications technologiques couvrent la centrifugation plasma, mais aussi des configurations telles que les propulseurs électriques ou les magnétrons, dont la dynamique et la stabilité sont fortement influencés par la rotation du plasma.

Dans un premier temps, une sélection de travaux antérieurs concernant le contrôle du potentiel plasma et de la rotation des colonnes de plasma magnétisé à basse pression sera présentée.

Dans un second temps, les résultats obtenus dans le dispositif Von-Karman-Plasma [1] au Laboratoire de Physique, à l'ENS de Lyon seront détaillés (voir Figure 1). Une colonne de plasma d'Argon, de densité  $10^{18} \mathrm{m}^{-3}$  est générée par une source radiofréquence et confinée par un champ magnétique de quelques dizaines de milliTesla, à des pressions de l'ordre de 0.1 Pa. L'originalité de l'approche détaillée ici consiste à injecter courant grâce à une cathode émissive [2] pour améliorer le contrôle du potentiel plasma. Ce dernier est alors piloté par l'intensité du courant injecté [3], qui permet aussi un contrôle de la rotation et du cisaillement de la colonne de plasma [4].



Figure 1 : Photographies du dispositif expérimental Von-Karman-Plasma montrant la colonne de plasma vue (à gauche) de l'extrémité du cylindre, (au centre) depuis le côté du cylindre, et (à droite) détaillant une sonde sur un translateur axial.

Cette présentation détaillera des travaux menés par plusieurs doctorants, et en particulier Victor Désangles (LPENSL), Simon Vincent (LPENSL), Francis Pagaud (LPENSL), Vassili Desages (LPENSL), Baptiste Trotabas (LAPLACE), et en collaboration avec Vincent Dolique (LPENSL) et Renaud Gueroult (LAPLACE).

#### Références

- [1] N. Plihon et al., J. Plasma Phys. 81, 345810102 (2015)
- [2] V. Désangles et al., J. Plasma Phys. 87, 905870308 (2021)
- [3] F. Pagaud et al., Plasma Sources Sci. Technol. 32, 115019 (2023)
- [4] F. Pagaud et al., Plasma Sources Sci. Technol. **34**, 065012 (2025)

Statut : permanent

<sup>&</sup>lt;sup>1</sup> Laboratoire de Physique, École Normale Supérieure de Lyon & CNRS, Lyon, France nicolas.plihon@ens-lyon.fr

# Décharges à Barrières Diélectriques : plus d'un siècle d'histoire et toujours de nouvelles perspectives ...

A. Belinger, H. Caquineau, S. Dap, N. Gherardi, N. Naudé

*Univ Toulouse, Toulouse INP, CNRS, Laplace, Toulouse, France* mél: nicolas.naude@laplace.univ-tlse.fr

Les décharges à barrière diélectrique (DBD) représentent une solution simple et robuste pour éviter la transition vers l'arc à pression atmosphérique et ainsi générer un plasma froid (Figure 1). Introduit dès 1857 par Siemens [1], le principe s'inscrit dans une histoire de plus d'un siècle et demi, mais suscite encore aujourd'hui un fort intérêt scientifique et industriel [2]. La capacité des DBD à maintenir des plasmas hors équilibre dans des conditions de température et de pression ambiantes en fait une technologie de choix pour de nombreuses applications industrielles, parmi lesquelles la production d'ozone, la génération d'UV ou encore le traitement de films polymères.

Au-delà des aspects applicatifs, de nombreuses études portent sur la physique des décharges ellesmêmes, qu'il s'agisse des micro-décharges, des régimes diffus ou encore des décharges RF et nanosecondes [3]. Les DBD sont généralement caractérisées par des diagnostics électriques et optiques (spectroscopie d'émission optique, imagerie résolue en temps, absorption, etc.), auxquels s'ajoutent des analyses chimiques en phase gazeuse (FTIR, spectrométrie de masse, chromatographie en phase gazeuse), des mesures de potentiel de surface, ou encore des diagnostics laser avancés. Ces approches expérimentales sont fréquemment complétées par des modélisations numériques visant à mieux comprendre et prédire le comportement de la décharge.

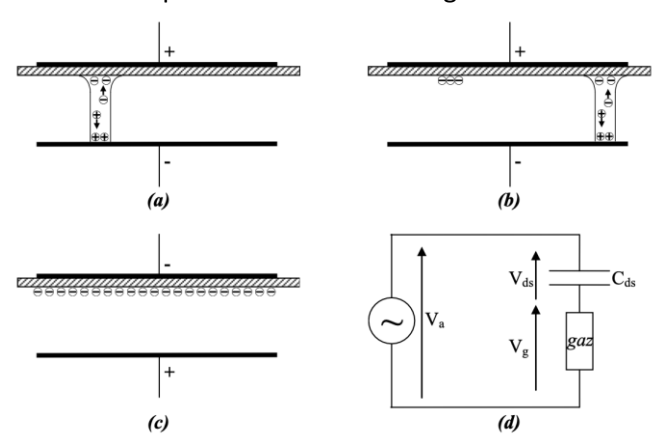


Figure 1 : Schéma de principe d'une Décharge à Barrière Diélectrique [4]
(a) établissement d'une première micro-décharge, (b) extinction de la première micro-décharge et amorçage d'une nouvelle, (c) changement de la polarité appliquée sur les électrodes, (d) schéma électrique équivalent d'une micro-décharge

La présentation mettra en évidence ces différents travaux, en mettant l'accent à la fois sur la compréhension de la physique des DBD et sur leurs applications industrielles.

#### Références

- [1] Siemens W 1857 Annalen der Physik und Chemie 178(9) 66–122
- [2] Kogelschatz U, Plasma Chemistry and Plasma Processing 23, 1–46 (2003)
- [3] Brandenburg R 2017 Plasma Sources Sci. Technol. 26 053001
- [4] Naudé N et al. Plasma et son environnement Plasmas Froids en France et au Québec, Publications Mission Ressources et Compétences Technologiques, 2012, ISBN 978-2-918701-09-5

Statut:

# Diagnostics in situ d'un procédé plasma de dépôt de couches minces nanocomposites par injection d'une solution colloïdale dans un plasma basse pression

A. Granier<sup>1</sup>, S. Chouteau<sup>1,2,3</sup>, J. Chevet, M. Richard-Plouet<sup>1</sup>, A. Goullet<sup>1</sup>, L. Stafford<sup>2</sup>

mél: agnes.granier@cnrs-imn.fr

Les couches minces nanocomposites (NC), constituées de nanoparticules intégrées dans une matrice, suscitent un intérêt croissant en tant que revêtements multifonctionnels avec la possibilité d'ajuster leurs différentes propriétés en jouant sur la composition du nanocomposite.

L'une des voies de synthèse de ces couches minces nanocomposites consiste en l'injection d'une solution colloïdale (contenant les nanoparticules) dans un plasma de PECVD qui permet le dépôt de la matrice simultanément à l'incorporation des nanoparticules [1]. Ce procédé de synthèse de couches nanocomposites est un procédé hybride plasma/aerosol qui conduit à la formation d'un plasma brumeux (misty plasma).

L'objectif de cette présentation est de montrer la potentialité d'associer un diagnostic du plasma par spectroscopie optique d'émission résolue en temps (TROES) à l'analyse du film par ellipsométrie spectroscopique *in situ* pour contrôler et étudier le procédé. Plus précisément, le cas d'une injection pulsée d'une solution colloïdale de nanoparticules d'oxyde (TiO<sub>2</sub> ou ZnO) dans un plasma basse pression de O<sub>2</sub>/HMDSO (pour le dépôt d'une matrice de SiO<sub>2</sub>) sera retenu [2]. Outre l'étude de la reproductibilité du procédé, l'association de ces deux diagnostics est très riche en informations sur la cinétique du dépôt de la couche nanocomposite, les interactions entre les gouttes de solution colloïdale et le plasma (effet des gouttes sur le plasma et du plasma sur les gouttes), le transport des gouttes dans le plasma, les mécanismes d'évaporation et de fragmentation des gouttes (en plasma basse pression).

En complément seront présentés les résultats d'un modèle collisionnel radiatif (en plasma Argon + injection pulsée de solution colloïdale) couplé à des mesures TROES pour déterminer les variations temporelles des densité et température électroniques ainsi que la densité de métastables d'Ar [3].

#### Références

[1] M. Mitronika, A. Granier, A. Goullet, M. Richard-Plouet, SN Applied Sciences 3:665 (2021),

https://doi.org/10.1007/s42452-021-04642-0

[2] F. Fanelli et al., Langmuir 30, 857-865 (2014)

[3] G. Carnide et al., Advanced Science 10 (2022) 2204929, G. Carnide, L. Cacot et al., Coatings 13, 630 (2023)

[4] S Chouteau, M Mitronika, A Goullet, M Richard-Plouet, L Stafford and A Granier, J. Phys. D: Appl. Phys 55 505303 (2022) https://doi.org/10.1088/1361-6463/ac9ac2A.

[5] S. Chouteau, A. Durocher-Jean, A. Granier, M. Richard-Plouet, L. Stafford, Plasma Sources Science and Technology 33, 075016 (2024), https://doi.org/10.1088/1361-6595/ad5d11

<sup>&</sup>lt;sup>1</sup> Nantes Université, CNRS, Institut des Matériaux de Nantes Jean Rouxel, IMN, F-44000 Nantes

<sup>&</sup>lt;sup>2</sup> Département de Physique, Université de Montréal, Québec, Canada

<sup>&</sup>lt;sup>3</sup> Hamaguchi Laboratory, Osaka University, Japan

# Novel advanced laser-synthesized nanomaterials for healthcare and energy: design, fabrication and applications

### Andrei V. Kabashin

Aix Marseille Univ, CNRS, LP3, 13288, Marseille, France mél: andrei.kabashin@univ-amu.fr

The presentation will overview our on-going activities on laser ablative synthesis of novel biocompatible colloidal nanomaterials and their testing in biomedical tasks. Our original approach is based on ultra-short (fs) laser ablation from a solid target [1,2] or already formed water-suspended colloids [3] to fabricate "bare" (ligand-free) nanoparticles (NPs) with well-controlled size characteristics, as well as coating of nanomaterials by functional molecules (dextran, PEG etc.) during the ablation process or afterwards [4]. The presentation will describe recently developed approaches to achieve appropriate characteristics of several promising nanostructures, including plasmonic Au [1,3,4], TiN [5], ZrN [6], HfN [7] nanoparticles, Bi nanoparticles [8], B nanoparticles [9], semiconductor Si [10] and Ge [11] nanoparticles, van der Waals nanostructures [12,13], and composite core-satellite (Si@Au [14], Fe3O<sub>4</sub>@Au [15,16]) nanostructures. The presentation will also overview our results on biological assessment of some laser-synthesized nanomaterials [16-18], as well as highlight some biomedical applications of laser-synthesized nanomaterials, including their use as contrast agents in SERS bioidentification [19], non-linear optical [20], photoacoustic [21] and MRI [16] bioimaging, sensitizers of photothermal therapy [5-7, 11, 12, 16], vectors of radionuclides in nuclear medicine [22]. Finally, the presentation will overview some energy applications of laser-synthesized nanomaterials, including their use as electrocatalysts of glucose oxidation [23,24] and thermal nanofluids for solar energy conservation [25].

#### Références

```
[1] A. V. Kabashin, M. Meunier, J. Appl. Phys. 94, 7941 (2003).
```

- [3] S. Besner, A. V. Kabashin, M. Meunier, Appl. Phys. Lett, 89, 233121 (2006).
- [4] S. Besner, A. V. Kabashin, F. Winnik, M. Meunier, Appl. Phys. A. **93**, 955 (2008).
- [5] A. A. Popov, et al, Sci. Rep. 9, 1194 (2019).
- [6] A. I. Pastukhov et al, ACS Appl. Nano Mater. 7, 18737 (2024)
- [7] A. I. Pastukhov et al, Nanoscale, 16, 17893 (2024).
- [8] J. C. Bulmahn, et al, Nanomaterials, 10, 1463 (2020).
- [9] A. I. Pastukhov, et al, Sci. Rep. **12**, 9129 (2022).
- [10] A. V. Kabashin, et al., ACS Nano 13, 9841 (2019).
- [11] I. B. Belyaev, et al. Advanced Science, 11, 2307060 (2024).
- [12] G. I. Tselikov et al, PNAS, 119, e2208830119 (2022)
- [13] G. I. Tselikov et al, ACS Nano, 19, 25, 22820 (2025)
- [14] A. Al-Kattan, et al., Nanomaterials 11, 592 (2021).
- [15] A. A. Popov, et al., Nanomaterials **12**, 649 (2022).
- [16] O. Yu. Griaznova, et al, Pharmaceutics 14, 994 (2022).
- [17] I. V. Zelepukin, et al, Mater. Sci. Eng. C 120, 111717 (2021).
- [18] I. V. Zelepukin, et al, Chem. Eng. Journal 430, 132860 (2022).
- [19] M. Kögler, et al, J. Biophoton. 11, e201700225 (2018).
- [20] A. Kharin, et al, Adv. Opt. Mater. **7**, 1801728 (2019).
- [21] A. Das, et al, Appl. Phys. Lett. 121, 083701 (2022).
- [22] V. M. Petriev, et al., Sci. Rep. 9, 2017 (2019).
- [23] S. Hebie, et al, ACS Catalysis 5, 6489 (2015).
- [24] Y. Holade, et al, Catal. Sci. Tech. 10, 7955 (2020).
- [25] S. Farooq, et al, Solar Energy Materials and Solar Cells, 252, 112203 (2023).

**Statut:** permanent

<sup>[2]</sup> A. V. Kabashin, M. Meunier, J. Phys.: Conf. Series, 59, 354 (2006).

# Production d'ions négatifs d'hydrogène en surface dans des plasmas à basse pression

G. Cartry<sup>1</sup>, J.-P. Broude<sup>1</sup>, Om Raval<sup>1</sup>, J.M. Layet<sup>1</sup>, Didier Guyomarc'h<sup>1</sup>, M. Minissale<sup>1</sup>, R. Magee<sup>2</sup>, J. Dedrick<sup>2</sup>, M. Kellerman-Stunt<sup>2</sup>, T. Gans<sup>3</sup>, M. Sasao<sup>4</sup>, S. Inoue<sup>4</sup>, Y. Inokuchi<sup>4</sup>, M.-A. Pinault-Thaury<sup>5</sup>, J. Achard<sup>6</sup>

1 Aix-Marseille University, CNRS, PIIM, UMR 7345, F-13013 Marseille, France.

2 York Plasma Institute, University of York, YO10 5DD, UK

3 Faculty of Science and Health, Dublin City University, Dublin, Ireland

4 Doshisha University, Kyotanabe, Kyoto 610-0321, Japan

5 GEMaC-CNRS/UVSQ, Université Paris-Saclay, Versailles, France

6 LSPM, CNRS-UPR 3407 Université Sorbonne Paris Nord, F-93430 Villetaneuse, France

mél: gilles.cartry@univ-amu.fr

Les sources d'ions négatifs à basse pression ont un large éventail d'applications, notamment l'injection de particules dans les accélérateurs linéaires et les cyclotrons, l'analyse de surface par spectrométrie de masse à ions secondaires (SIMS) et l'injection de faisceaux neutres pour la fusion confinée magnétiquement. Ces sources fonctionnent sur la base du processus de production d'ions négatifs en surface, par lequel des ions ou des atomes positifs rétrodiffusés d'une surface en contact avec le plasma capturent un ou deux électrons du matériau, ce qui entraîne la formation d'ions négatifs.

Cette présentation se concentre sur l'étude de ce processus dans les plasmas d'hydrogène à basse pression. La capture d'électrons à la surface dépend fortement de la structure électronique du matériau, qui est souvent considérablement modifiée par l'exposition au plasma. Afin d'étudier ce phénomène, nous avons développé un diagnostic de photoémission in situ capable de suivre les changements dans la structure électronique après traitement au plasma et de corréler ces modifications avec les variations du rendement de production d'ions négatifs en surface.

Au cours de cet exposé, nous présenterons les outils expérimentaux conçus pour cette étude, notamment un analyseur d'énergie à champ de retard magnétisé et un spectromètre de masse pour détecter les ions négatifs émis en surface, ainsi que la spectroscopie de rendement de photoémission in situ pour caractériser les propriétés de surface. Nous illustrerons la production d'ions négatifs en surface dans le plasma sur des matériaux sélectionnés tels que le diamant, les métaux à faible trvail de sortie et une céramique conductrice.

### Remerciements

Ce travail a été réalisé dans le cadre de la Fédération de recherche en fusion par confinement magnétique (FRFCM). Le projet à l'origine de cette publication a bénéficié d'un financement de l'Initiative d'Excellence de l'Université d'Aix-Marseille — A\*Midex, programme Investissements d'Avenir AMX-19-IET-013. Ce projet a également été soutenu par la Région Sud PACA dans le cadre de l'Appel à projets recherche Volet exploratoire — projet SARDINE. Cette recherche a été financée par l'Agence Nationale de la Recherche (ANR) dans le cadre du projet « ANR-23-CE30-0001 ».

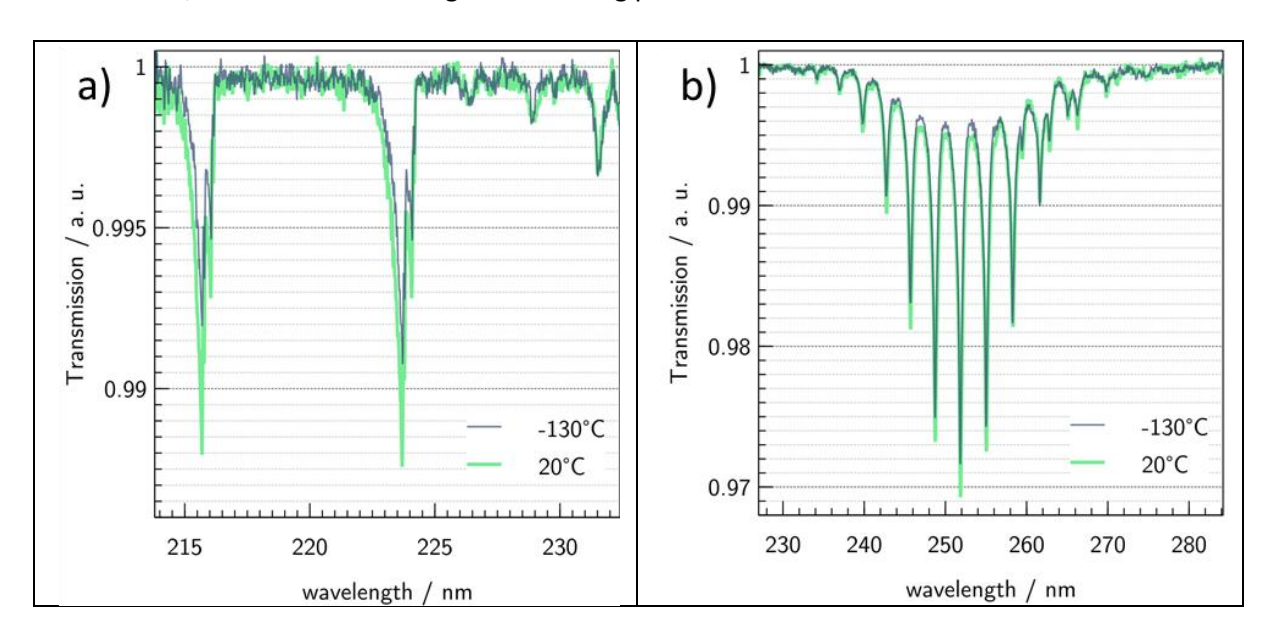


# UV absorption spectroscopy to study the role of CF radicals during cryogenic etching of Si in CF<sub>4</sub> plasmas

M. Kogelschatz<sup>1</sup>, J. Nos<sup>2</sup>, S. Iséni<sup>2</sup>, G. Cunge<sup>1</sup>, P. Lefaucheux<sup>2</sup>, R. Dussart<sup>2</sup>, T. Tillocher<sup>2</sup>, E. Despiau-Pujo<sup>1</sup>

Ultraviolet absorption spectroscopy is used to monitor the CF and CF $_2$  radical densities in CF $_4$  inductively coupled Si etching plasmas (ICP) as a function of the substrate temperature [1]. Typical spectra are shown in Fig.1. It can be seen from the absorption spectrum of the CF radical in Fig.1(a) that its density decreases dramatically when the wafer temperature is reduced from 20 to -130 °C under identical plasma conditions, demonstrating that the CF surface sticking coefficient increases as the surface temperature is reduced, while the CF $_2$  density remains nearly unchanged as it can be deduced from the corresponding absorption spectrum. This suggests that a CF $_4$  plasma could be used to form sidewall passivation layers and perform anisotropic etching at cryogenic temperature, which is impossible at room temperature.

Subsequently, a cyclical Bosch type etching process of silicon was evaluated at -100 °C using CF<sub>4</sub> plasma to passivate the trench sidewalls. Anisotropic etch profiles were obtained with an etch rate of 4.4  $\mu$ m/min. Compared to a typical Bosch process using highly polymerizing c-C<sub>4</sub>F<sub>8</sub> plasma, chamber wall contamination could be significantly reduced, alleviating a major issue of this cyclic process. Furthermore, CF<sub>4</sub> has a 28% lower global warming potential than c-C<sub>4</sub>F<sub>8</sub>.



**Figure 1**: Absorption spectra measured in a CF<sub>4</sub> plasma (50 sccm, 4 Pa, 1.5 kW ICP power, no bias power) for chuck temperatures of 20 °C and -130 °C. (a) A  $^2\Sigma \leftarrow X^2\Pi$  (1,0) transition of CF and (b)  $A(0, v, 0) \leftarrow X(0, 0, 0)$  transition of CF<sub>2</sub>.

We thank J.-P. Booth for discussions. This research project is supported by the CERTeM scientific interest group (GIS) and funded by EU FEDER and ANR PSICRYO project (No. ANR-20-CE24-0014).

#### Références

[1] J. Nos, S. Iséni, M. Kogelschatz, G. Cunge, P. Lefaucheux, R. Dussart, T. Tillocher, E. Despiau-Pujo, APL 126, 031602 (2025)

**Statut:** permanent

<sup>&</sup>lt;sup>1</sup> University Grenoble Alpes, CNRS, CEA/LETI-Minatec, Grenoble INP, LTM, 38054 Grenoble, France

<sup>&</sup>lt;sup>2</sup> GREMI, Orléans University-CNRS, 14 Rue d'Issoudun BP 6744, 45067 Orléans, France mél: martin.kogelschatz@univ-grenoble-alpes.fr

# Procédés plasmas multi-échelle : quelles stratégies pour le dépôt de couches minces nanocomposites ?

K. Makasheva, R. Clergereaux et N. Naudé

Laboratoire Plasma et Conversion d'Energie (LAPLACE), Université de Toulouse, CNRS, Toulouse mél: kremena.makasheva@laplace.univ-tlse.fr

Le développement des nanotechnologies ces dernières années a permis la miniaturisation de plusieurs dispositifs. Pour continuer dans cette direction et diversifier les applications, une forte demande de matériaux à fonctionnalités multiples est apparue. Une des réponses à cette demande réside dans l'utilisation de couches nanocomposites. Néanmoins, les méthodes de synthèse de ces couches nanocomposites se doivent d'être adaptées aux fonctionnalités et aux applications prévues. Le dépôt de couches minces par procédés plasmas est une technique largement utilisée dans le domaine de la microélectronique, et cela depuis plusieurs décennies maintenant. La versatilité des procédés plasmas offre de nombreux avantages, tels qu'une très bonne maîtrise de la composition (stœchiométrie), une excellente qualité du dépôt vis-à-vis des fonctionnalités visées et une reproductibilité remarquable. Cela a permis aux autres domaines d'application (optique, génie électrique, aéronautique, spatial, biomédical, etc.) de bénéficier des procédés plasmas pour la synthèse de différents matériaux.

Cette présentation porte sur le développement de nouvelles méthodes de dépôt de couches minces nanocomposites par procédés plasmas. Elle résume les activités menées sur le sujet par l'équipe ScIPRA du LAPLACE. Il sera démontré que le choix du procédé plasma se fait sur la base de plusieurs critères, dès l'apport d'énergie pour l'entretien du plasma, en fonction des paramètres du plasma et les mécanismes intervenant en lien avec les précurseurs injectés, jusqu'aux propriétés du dépôt final. Les exemples seront donnés pour des plasmas hybrides entretenus à basse pression<sup>1–4</sup> et à la pression atmosphérique<sup>3,4</sup>. Les stratégies plasmas développées sont très variées et complexes mais restent adaptées aux applications des couches nanocomposites synthétisées.

#### Remerciements

Cette présentation est issue des travaux réalisés dans le cadre des projets ANR BENDIS (ANR-21-CE09-0008), ANR GROWNANO (ANR-21-CE29-0001), ANR LUMINA (ANR-21-CE08-0011-01), ANR PLASSEL (ANR-21-CE08-0038) et l'IRN NMC — Nanomatériaux Multifonctionnels Contrôlés du CNRS.

### Références

- 1. Garofano, V. et al. Multi-scale investigation in the frequency domain of Ar/HMDSO dusty plasma with pulsed injection of HMDSO. Plasma Sources Sci. Technol. 28, 055019 (2019).
- 2. Bérard, R., Garofano, V., Joblin, C., Stafford, L. & Makasheva, K. Layer-by-layer structured nanocomposite deposits from plasma-synthesized organosilicon nanoparticles and organosilicon nanoparticles decorated with Ag nanoparticles by taking advantage of cyclic nanoparticle formation in Ar/HMDSO reactive plasmas. *Front. Nanotechnol.* **6**, 1337571 (2024).
- 3. Carnide, G. *et al.* Direct Liquid Reactor-Injector of Nanoparticles: A Safer-by-Design Aerosol Injection for Nanocomposite Thin-Film Deposition Adapted to Various Plasma-Assisted Processes. *Coatings* **13**, 630 (2023).
- 4. Carnide, G. et al. Pulsed Aerosol-Assisted Low-Pressure Plasma for Thin-Film Deposition. *Plasma Chem. Plasma Process.* **44**, 1343–1356 (2024).

Statut:

# Mesures d'absorption IR et CRDS dans des DBD en CO<sub>2</sub> en régime de Townsend

J-P. Booth<sup>1</sup>, S. Bravo<sup>1</sup>, G. Carnide<sup>2</sup>, G. Curley<sup>1</sup>, N. Naudé<sup>2</sup>, O. Guaitella<sup>1</sup>, <u>S. Dap</u><sup>2</sup>

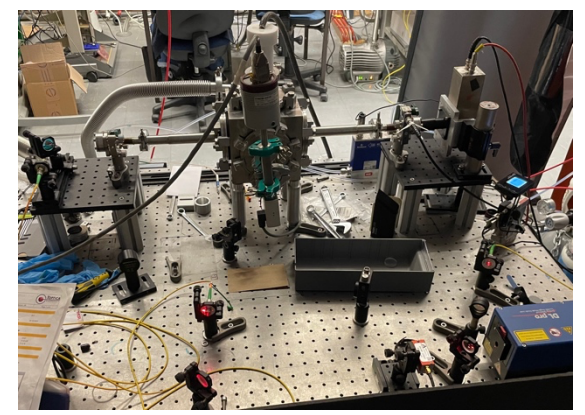
mél: simon.dap@laplace.univ-tlse.fr

Dans cette contribution nous présenterons les résultats préliminaires obtenus lors d'une campagne de mesure réalisée en collaboration entre le LPP et le LAPLACE grâce au soutien du dispositif Arpège du GDR EMILI et du dispositif ITC du réseau Plasma Froids. Ces mesures rentrent dans le cadre de l'étude des Décharges à Barrières Diélectriques à pression atmosphérique en atmosphère de CO<sub>2</sub>. Une spécificité forte de ces travaux est d'avoir une décharge diffuse à pression atmosphérique (Townsend). Deux types de mesures ont été réalisés en parallèle, sur deux dispositifs différents.

Premièrement, des mesures d'absorption IR *in-situ* au moyen d'un spectromètre FTIR ont permis de recueillir une grande quantité de données pour une large gamme de conditions expérimentales : variation de pression, mélanges  $CO_2/O_2$ ,  $CO_2/argon$  et  $CO_2/H_2O$ . Leur analyse permettra de déterminer les taux de dissociation du  $CO_2$  ainsi que les températures rotationnelles et vibrationnelles.

Deuxièmement, des mesures de CRDS ont été réalisées avec comme objectif initial de déterminer la densité d'atomes d'oxygène produits dans la décharge, cette espèce jouant un rôle clé dans la cinétique de ces plasmas. Malheureusement, aucun signal d'absorption attribuable aux atomes d'oxygène n'a pu être observé, très probablement parce que leur densité est inférieure à la limite de détection de la technique mise en œuvre. Cependant, un signal d'absorption attribué à l'ozone et/ou à des ions négatifs a été détecté, renseignant ainsi sur la cinétique de formation/disparition de ces espèces dans nos conditions.

Les données obtenues durant cette campagne seront ensuite utilisées par T. Silva et V. Guerra pour contraindre les modèles de cinétique chimique qu'ils développent à l'IST Lisbonne et ainsi améliorer la compréhension de la physico-chimie des plasmas de  $CO_2$ .



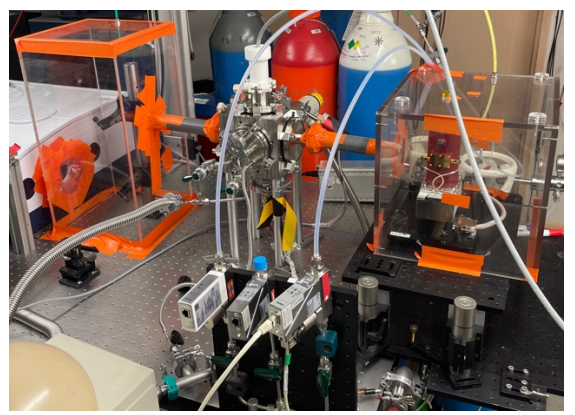


Figure 1: photographies des dispositifs expérimentaux utilisés (gauche: CRDS, droite: FTIR)

<sup>&</sup>lt;sup>1</sup> Laboratoire de Physique des Plasmas (LPP), CNRS, Sorbonne Université, Université Paris Saclay, École Polytechnique, Institut Polytechnique de Paris, 91128 Palaiseau, France

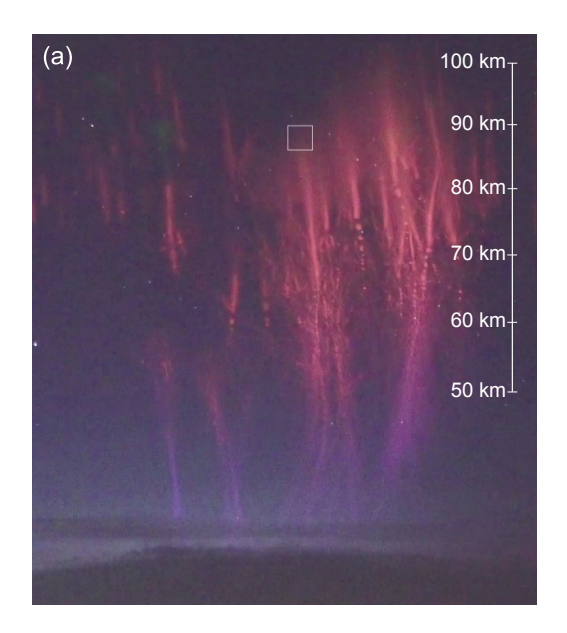
<sup>&</sup>lt;sup>2</sup> LAPLACE, Université de Toulouse, CNRS, INPT, UPS, Toulouse, France

# Des fantômes verts dans les farfadets?

# S. Célestin<sup>1</sup>

<sup>1</sup>LPC2E, OSUC, Université d'Orléans, CNRS, Orléans, France mél: sebastien.celestin@cnrs-orleans.fr

Les décharges de *sprites* (aussi appelés *farfadets* en français) au-dessus des orages sont étudiées depuis plus de 35 ans, et pourtant, la découverte d'émissions lumineuses vertes de longue durée provenant du sommet des sprites, appelées « fantômes verts » (ou Green Ghosts), n'a été faite que récemment par des observateurs amateurs utilisant des appareils photo numériques commerciaux. Dans cette étude, nous explorons la physique et la chimie sous-jacentes à ces émissions vertes. Nos résultats suggèrent que les fantômes verts sont causés par l'émission optique d'atomes d'oxygène excités à haute altitude, par les décharges filamentaires dans les sprites. Nous identifions deux voies chimiques clés responsables de la génération de ces nouveaux phénomènes.



**Figure 1**: Exemple d'une décharge sprite acompagnée d'un évènement « fantôme vert » capturé par Paul Smith (observateur amateur) à une distance de 217 km de l'éclair parent. Une échelle d'altitude est indiquée en blanc. Elle est calculée dans un plan vertical à l'éclair parent grâce à l'identification des étoiles dans les champs vidéo.

Statut:

# Évolution temporelle des fonctions de distribution des ions sous l'action des instabilités du plasma : application au propulseur de Hall

Q. Delavière--Delion<sup>1</sup>, F. Gaboriau<sup>2</sup>, G. Fubiani<sup>2</sup> & L. Garrigues<sup>2</sup>

Les plasmas magnétisés, comme ceux rencontrés dans les propulseurs de Hall, constituent un environnement particulièrement favorable à l'apparition d'un large éventail d'instabilités [1]. Parmi celles-ci, les oscillations de temps de transit des ions (ITTO) sont considérées comme ayant un impact majeur sur le comportement des ions. Des travaux antérieurs [2,3] ont montré que les ITTO se manifestent par la propagation d'ondes électrostatiques transversales au champ magnétique et parallèles au champ électrique. Ce mécanisme crée une modulation spatiale et temporelle du potentiel électrique dans le plasma, entraînant une accélération différentiée des ions : certains, en phase avec l'onde, "surfent" sur sa crête et acquièrent ainsi une énergie cinétique supérieure, tandis que d'autres, moins bien synchronisés, subissent une accélération moindre. Toutefois, leur étude, et plus spécifiquement le suivi temporel des fonctions de distribution en énergie des ions (FDI), reste complexe en raison de leur nature irrégulière et intermittente. En effet, dans les plasmas des propulseurs de Hall, les ITTO se superposent à d'autres instabilités ayant des périodes temporelles plus longues, ce qui rend leur isolement et leur caractérisation particulièrement difficiles.

Pour contourner cette difficulté, une approche originale a été développée, basée sur l'appariement des motifs d'oscillations les plus similaires. En combinant les mesures du courant de décharge avec celles obtenues par un Retarding Potential Analyser (RPA), il a été possible de révéler que dans certains cas l'évolution temporelle des FDI s'opère selon deux échelles de temps distinctes. La première correspond au mode de respiration (breathing mode), tandis que la seconde est associée aux ITTO. Cette analyse a aussi permis de mettre en évidence un phénomène d'accélération des ions se produisant spécifiquement sur l'échelle de temps des ITTO.

Le propulseur utilisé dans l'étude, dont les résultats seront présentés lors du séminaire, est le PPS-FLEX, un propulseur de Hall expérimental [4]. Celui-ci se distingue par l'utilisation de bobines magnétiques segmentées, offrant une grande flexibilité dans le réglage du champ magnétique. Grâce à cette caractéristique, le point de fonctionnement a été sélectionné de manière à accentuer les instabilités de type ITTO et à maximiser la stabilité des oscillations de la décharge. Dans un propulseur de Hall, le champ magnétique remplit deux fonctions principales : Augmenter le temps de résidence des électrons dans la décharge, favorisant ainsi un taux d'ionisation élevé (l'intensité du champ magnétique restant suffisamment faible pour ne pas magnétiser les ions). Et localiser le champ électrique dans une zone restreinte du canal de décharge, en piégeant localement les électrons (ce qui réduit fortement la conductivité axiale). Ce champ électrique est généré par l'application d'une différence de potentiel entre : une anode ; située au fond d'un canal annulaire, au niveau de l'injection de gaz et une cathode émissive ; placée à l'extérieur du propulseur, dont le rôle est triple : initier et maintenir le plasma, ainsi que neutraliser le faisceau d'ions extrait du canal par le champ électrique (se sont ces ions qui génèrent la poussée).

#### Références

- [1] E. Y. Choueiri, Plasma oscillations in Hall thrusters, Physics of Plasmas (2001).
- [2] Bareilles, Hagelaar, Garrigues, Boniface, Boeuf, Gascon, Critical Assessment of a Two-Dimensional Hybrid Hall Thruster Model: Comparisons with Experiments, Physics of Plasmas (2004).
- [3] Petronio, Charoy, Alvarez Laguna, Bourdon, Chabert, Two-Dimensional Effects on Electrostatic Instabilities in Hall Thrusters. II. Comparison of Particle-in-Cell Simulation Results with Linear Theory Dispersion Relations, Physics of Plasmas (2023).
- [4] Garrigues, Mazouffre, Hénaux, Vilamot, Rossi, Harribey, Bourgeois, Vaudolon, Zurbach, Design and First Test Campaign Results with a New Flexible Magnetic Circuit for a Hall Thruster, 33rd IEPC, **2013-250** (2013).

Statut : post-doc

<sup>&</sup>lt;sup>1</sup>ONERA - DPHY, 6 Chemin de la Vauve aux Granges, Palaiseau

<sup>&</sup>lt;sup>2</sup> LAPLACE - Laboratoire PLAsma et Conversion d'Énergie, Université Paul Sabatier, CNRS, INP, Toulouse mél: <a href="mailto:quentin.delaviere@onera.fr">quentin.delaviere@onera.fr</a>

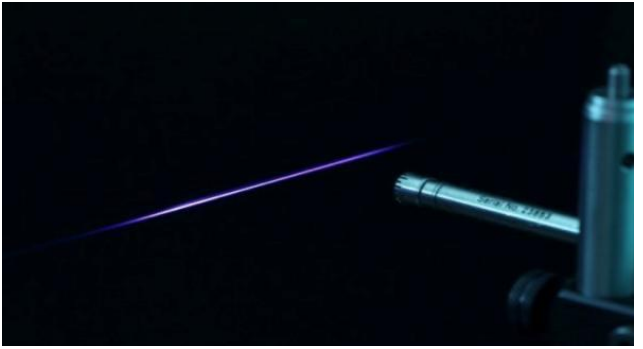
# Plasmas produits par filamentation laser dans l'air : dernières avancées et nouveaux challenges

# Aurélien HOUARD<sup>1</sup>

Lorsqu'une impulsion laser ultrabrève de quelques gigawatts de puissance crête se propage dans l'air, elle va spontanément s'auto-focaliser pour former de longs canaux de lumières intense appelés filaments. Ce phénomène est lié à différents effets optiques nonlinéaires qui apparaissent en présence d'un champ laser intense. Les filaments laissent dans leur sillage un plasma faiblement ionisés (10<sup>16</sup>-10<sup>17</sup> e<sup>-</sup>/cm³) dont les rayonnements secondaires et l'évolution hydrodynamique peuvent être mis à profit pour de nombreuses applications.

Ainsi, un filament court et intense peut générer un rayonnement cohérent et très large bande dans le domaine térahertz [1], utile pour de la spectroscopie THz. De même, les molécules d'azote ionisées ou excitées du plasma peuvent émettre et amplifier un rayonnement laser UV dans l'axe du filament [2] et leur fluorescence peut être utilisée pour mesurer des champs de vitesses dans des écoulements réactifs (technique FLEET) [3]. A plus grande échelle, les filaments permettent de déclencher et de guider des décharges électriques. Une récente expérience a ainsi démontré qu'ils pouvaient guider des décharges de foudre sur plus de 60 m [4].





**Figure 1 :** A gauche : image d'une décharge de foudre guidée par laser [4]. A droite : photo d'un filament de 5 cm produit en focalisant dans l'air un laser de quelques GW avec une lentille f = 1 m.

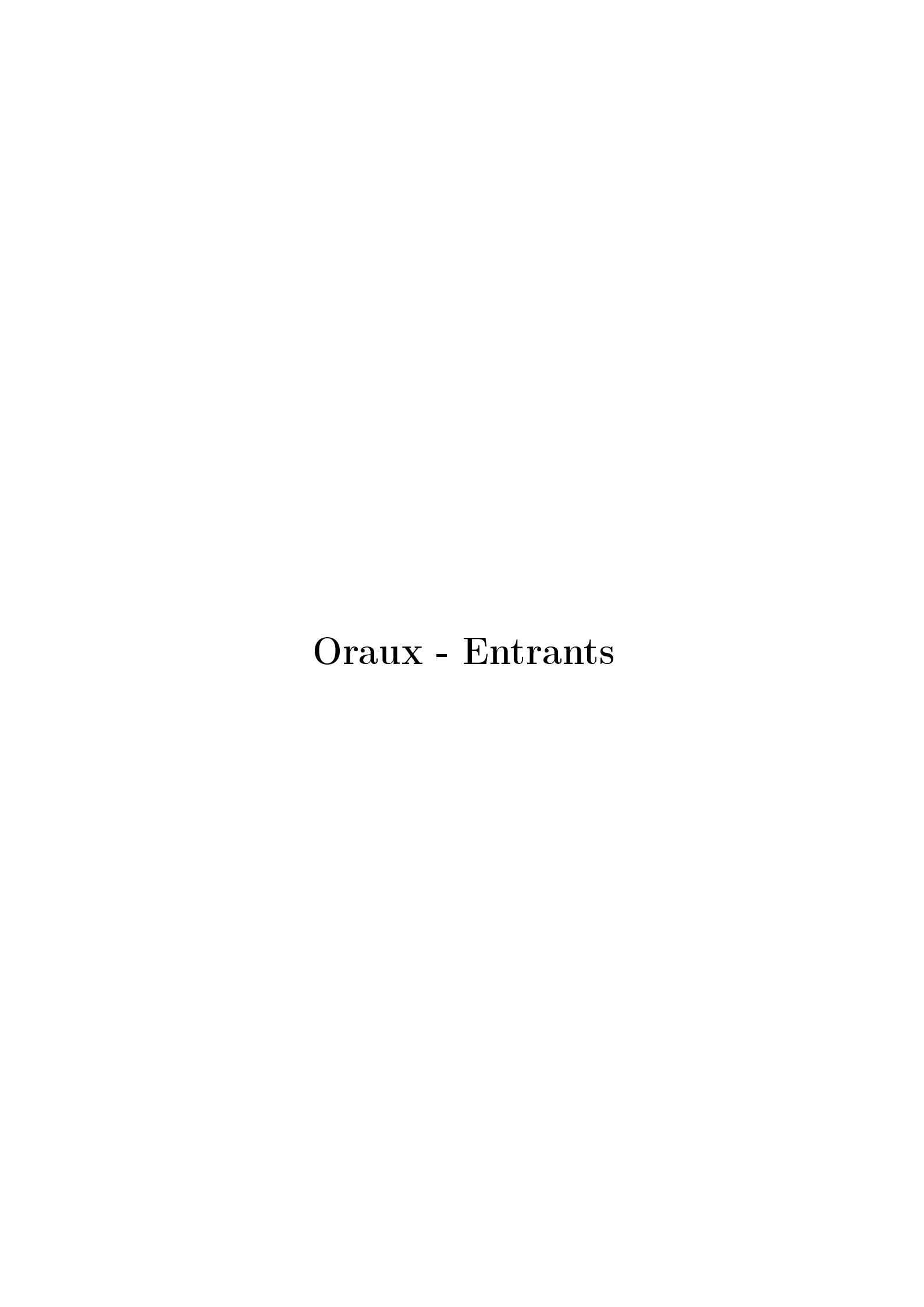
L'atout de la filamentation femtoseconde réside dans sa capacité à concentrer naturellement l'énergie laser pour générer de minces canaux de plasma homogènes, même à des distances kilométriques [5]. Mais pour passer d'une preuve de concept en laboratoire à une application atmosphérique, le challenge consiste aujourd'hui à contrôler précisément les paramètres du plasma créé, notamment en organisant spatialement les filaments [6] ou en prolongeant la durée de vie du plasma.

#### Références

- [1] C. D'Amico, et al. Phys. Rev. Lett. 98, 235002 (2007);
- [2] G. Point, et al. Opt. Lett. 39, 1725 (2014)
- [3] L. Bernadot, et al. Laser Diagnostics in Energy and Reacting Flows, Jun 2025, Les Diablerets, Switzerland.
- [4] A. Houard, et al. Laser-guided lightning, Nature Photonics 17, 231 (2023)
- [5] M. Durand, et al. Opt. Express 21, 26836 (2013)
- [6] S Fu, et al. Phys. Rev. Lett. 134 (4), 045001 (2025); S Fu, et al. Opt. Lett. 49 (13), 3540-3543 (2024)

**Permanent** 

<sup>&</sup>lt;sup>1</sup> Laboratoire d'Optique Appliquée, ENSTA, Ecole Polytechnique, CNRS, IP Paris, Palaiseau mél: aurelien.houard@ensta.fr



# Photo-induced plasma confinement in ultrashort laser-excited nanostructures

## A. Rudenko<sup>1</sup>

<sup>1</sup> Laboratoire Hubert Curien, UMR 5516 CNRS, Université Jean-Monnet, 42000 Saint-Etienne, France mél: <a href="mailto:anton.rudenko@univ-st-etienne.fr">anton.rudenko@univ-st-etienne.fr</a>

Intense ultrashort lasers modify transient optical properties of transparent materials, converting them into cold plasma non-equilibrium state of matter. This electron-hole plasma can be confined to subwavelength nanoscale dimensions by tightly focused laser beams but remains challenging to control due to complexity of ultrashort pulse propagation in nonlinear medium and is mainly associated with laser material damage in laser processing [1]. Subwavelength nanostructures and their periodic planar arrangements (metasurfaces) enable not only plasma confinement on record nanoscales by ultrashort laser excitation [2] but also better control over the nonlinear optical response while resisting to material damage [3], which is promising for new-generation optical devices for light manipulation and modulation.

Modeling of the involved physical processes remains challenging, as it requires coupling non-paraxial full-vector light propagation in nonlinear medium with a comprehensive model for electronic excitation and material ionization at high intensities. Laser interaction with subwavelength nanostructures is discussed in the frame of 3D plasma fluid model coupled with nonlinear Maxwell propagation solver. Simulation results elucidate the spatio-temporal aspects of the electron-hole plasmas and their influence on ultrashort pulse propagation and harmonic generation.

Apart from numerous applications relying on transient optical properties, plasma nanoconfinement in nanostructured transparent materials opens new opportunities for controlling thermal gradients, melt flow, and ablation at the nanoscale, with the ultimate objective to develop new strategies for nanofabrication and adjustment of metasurfaces.

#### Références

- [1] A. Rudenko, J. V. Moloney, and P. Polynkin, Phys. Rev. Appl., Vol. 20, 064035 (2023)
- [2] A. Rudenko, K. Ladutenko, S. Makarov, and T. E. Itina, Adv. Opt. Mater., Vol. 7, 12306 (2018)
- [3] A. Rudenko, A. Han, and J. V. Moloney, Adv. Opt. Mater., Vol. 11, 2, 2201654 (2023)

**Statut : permanent (CNRS)** 

# Parcours d'un IR : de la thèse sur les plasmas froids aux diagnostics laser avancés

### L. Invernizzi<sup>1</sup>

<sup>1</sup> Laboratoire des Sciences des Procédés et des Matériaux, LSPM, CNRS, Université Sorbonne Paris Nord, UPR3407, F-93430 Villetaneuse, France Adresse mél: laurent.invernizzi@lspm.cnrs.fr

The study of collisional non-thermal plasmas (NTPs) has gained significant momentum in recent decades, fueled by advances in high-resolution diagnostic techniques. Among these, laser absorption and optical emission spectroscopy stand out for their exceptional sensitivity and spatio-temporal precision.

The Laser and Spectroscopy Diagnostics in PlasMas (LaSPM) platform was established to address these challenges, providing advanced tools including ns and ps lasers for LIF (Laser-Induced Fluorescence) and TALIF (Two-Photon Absorption LIF) diagnostics. These allow precise determination of atomic and molecular densities as well as gas temperatures at ns and ps timescales. Hosted at the LSPM laboratory (CNRS UPR3407), the platform is open to national and international collaborations. To date, it has supported around a dozen research groups working on a wide range of plasmas, from weakly to strongly collisional, generated in gases such as He, Ar/N<sub>2</sub>, O<sub>2</sub>, and air, using continuous, pulsed, sinusoidal, RF, or microwave sources, see Figure 1 [1,2]. LaSPM operates two complementary laser systems: a ns laser with PMT detection and a ps laser with streak camera detection, ensuring optimized TALIF measurements and high-precision plasma diagnostics. A dedicated team of researchers, engineers, and technical staff supports visiting teams throughout their projects—from experiment design to data analysis and interpretation, and ultimately publication.

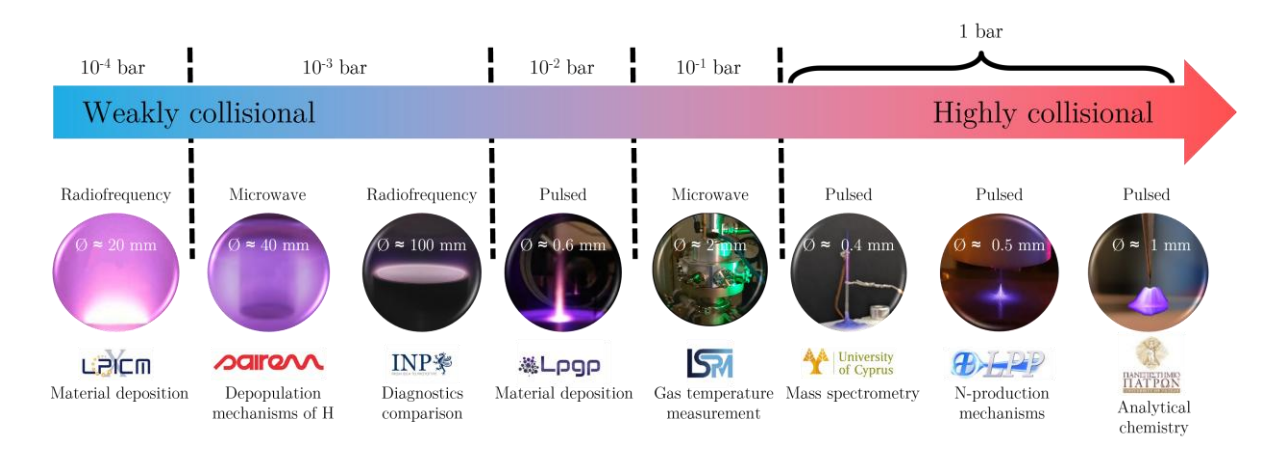


Figure 1: A selection of plasmas investigated using the TALIF technique within the LaSPM platform.

I will present my career path, starting with my PhD dedicated to the study of atmospheric-pressure cold plasmas, followed by several postdoctoral experiences, and leading to my current position as a research engineer. I will highlight my involvement in the creation and development of the LaSPM platform.

#### Références

[1] Srinivasan L, et al., Appl. Phys. Lett. 124 104101 (2024)

[2] Wubs J R, et al., Appl. Phys. Lett. 123 081107 (2023)

**Statut: Permanent** 

# Développement des microplasmas réactifs pour la synthèse des nanoparticules dans la phase gazeuse : mécanismes de production et optimisation du procédé

# A. EL FARSY

<sup>1</sup>Laboratoire des Sciences des Procedes et des Materiaux (LSPM), CNRS, UPR 3407, Universite Sorbonne Paris Nord, 99 Avenue J.B. Clement, 93430 Villetaneuse, France

mél: abderzak.el-farsy@lspm.cnrs.fr

Tout d'abord, dans cette présentation, je vais revenir sur mon parcours universitaire, mes expériences post-doctorat et les activités transverses dont j'ai été impliquées.

Ensuite je présenterai les résultats de recherche obtenus les plus marquant. Cela concerne :

- la caractérisation de décharge réactive magnétron pulsée haute puissance (r-HiPIMS) par la fluorescence induite par diode laser et la spectrométrie de masse résolues en énergie et en temps,
- l'étude de l'interaction du faisceau d'e- haute énergie ( ~60 keV) avec la poudre métallique en procédé de fabrication additive par spectroscopie d'absorption et sonde électrostatique,
- et la caractérisation d'une décharge DBD confinée dans un système micro fluidique.

Enfin mon projet de recherche au LSPM sera brièvement introduit.

# Modification de matériaux semi-transparents par lasers à impulsions ultra-brèves

# P. Sopeña<sup>1</sup>

<sup>1</sup>Laboratoire LP3 (UMR7341), CNRS, Aix-Marseille Université, 13009 Marseille, France mél: pol.sopena-martinez@univ-amu.fr

Le traitement laser ultrarapide constitue une méthode puissante et largement exploitée pour modifier les propriétés structurelles des matériaux. L'intensité intrinsèquement élevée des impulsions femtosecondes focalisées permet d'altérer aussi bien la surface que le volume de matériaux transparents par absorption multiphotonique. Dans ce cadre, de nombreuses avancées ont été réalisées, telles que le stockage optique 5D dans la silice, la fabrication d'éléments optiques et de guides d'ondes dans le saphir, le soudage laser par transmission ou encore l'élaboration 3D de microstructures polymères [1]. Cependant, la transposition de ces capacités a d'autres matériaux d'intérêt présentant une étroite bande interdite ou une structure interne hétérogène demeure particulièrement complexe, la modification sous-surface étant rarement atteignable. D'une part, la bande interdite étroite (1,12 eV) et l'indice de réfraction élevé (~3,5) des semi-conducteurs tels que le silicium entraînent une délocalisation de la lumière, marquée par des distorsions linéaires et non linéaires ainsi qu'un écran préfocal plasma, limitant ainsi la délivrance d'énergie au foyer [2]. D'autre part, les matériaux hétérogènes (polymères granulaires, céramiques polycristallines ou composites) présentent une structure qui complique la formation d'un foyer sous la surface en raison de la diffusion et la diffraction [3]. Dans ce contexte, je propose plusieurs approches pour compenser ces effets de propagation indésirables afin de permettre une modification volumique dans les semi-conducteurs et les matériaux diffusants. Une telle avancée ouvrirait non seulement de nouvelles possibilités pour l'usinage laser, mais également pour le développement d'applications innovantes microélectronique, microfluidique ou biomédecine.

Plus précisément, mes recherches passées et actuelles se sont concentrées sur des stratégies de mise en forme temporelle visant à induire des modifications volumiques dans les semi-conducteurs. Ces approches incluent : l'utilisation de trains d'impulsions THz ultracourtes pour le découpage du GaAs [4], d'impulsions nanosecondes pour le soudage par transmission [5], de longueurs d'onde dans l'infrarouge moyen pour le traitement étendu des semi-conducteurs [6], ainsi que de techniques d'optique plasma à double impulsion pour accroître la résolution et la reconfigurabilité des puces en Si [7]. En parallèle, j'ai initié des travaux sur le traitement de matériaux diffusants à l'aide de faisceaux non diffractifs. L'emploi de faisceaux de Bessel personnalisés a notamment démontré son efficacité pour améliorer le perçage de circuits imprimés composites en compensant la diffusion interne [8]. Les perspectives de recherche incluent désormais l'exploration d'approches actives de mise en forme de faisceaux dédiées au soudage laser de céramiques polycristallines.

#### Références

- [1] K. Sugioka, Y. Cheng, Y. Light: Science & Applications 3(4), e149–e149 (2014)
- [2] M. Chambonneau, D. Grojo, O. Tokel, F.Ö. Ilday, S. Tzortzakis, S. Nolte, Laser & Photonics Reviews 15(11), 2100140 (2021)
- [3] S. Gigan, et al. Journal of Physics: Photonics 4, 042501 (2022)
- [4] A. Wang, P. Sopeña, D. Grojo, International Journal of Extreme Manufacturing 4(4), 045001 (2022)
- [5] P. Sopeña, A. Wang, A. Mouskeftaras, D. Grojo, Laser & Photonics Reviews 16(11), 2200208 (2022)
- [6] P. Sopeña, N. Ganguly, G. Spühler, A. Selivanau, D. Grojo, Optics & Laser Technology 179, 111419 (2024)
- [7] A. Wang, A. Das, V.Y. Fedorov, P. Sopeña, S. Tzortzakis, D. Grojo, Nature Communications, 16(1), 6733 (2025)
- [8] P. Sopeña, N. Sanner, Optics & Laser Technology, under review (2025)

Statut: permanent

# Plasma – liquid interaction for water activation and decontamination

Nguyễn Trường Sơn<sup>1</sup>, Thierry Belmonte<sup>1</sup>, Gérard Henrion <sup>1</sup>, Thomas Gries 1, Cédric Noel<sup>1</sup>, Gregory Marcos<sup>1</sup>

<sup>1</sup>Université de Lorraine, CNRS, IJL, F-54000 Nancy, France

Email: truong-son.nguyen@univ-lorraine.fr

Climate change, water contamination, and the growing demand for food caused by urbanization, industrialization, and population growth are among the most pressing challenges facing humanity today. Meeting these challenges requires the development of advanced technologies that can reduce the harmful impact of polluted water sources while at the same time supporting agricultural practices that are both productive and sustainable. The main goal of my work is to investigate the potential of non-thermal plasma as an environmentally friendly alternative to conventional approaches, with particular attention to two areas of application: the treatment of contaminated water and the activation of water for agricultural use.

Non-thermal plasma offers several promising advantages that make it an attractive candidate for these purposes. In agriculture it has the potential to improve productivity by enhancing plant growth, increasing resilience to stress, and raising yields, while reducing reliance on chemical fertilizers and pesticides. In the field of water treatment its strong oxidative properties enable the breakdown of pollutants, the inactivation of pathogens, and the restoration of water quality at a time when natural sources are increasingly threatened by human activities. By integrating these two dimensions, my research aims to show that plasma-based processes can contribute meaningfully to sustainable practices that balance food production with environmental protection.

Achieving this goal requires more than practical demonstrations. It also depends on a deeper understanding of the fundamental mechanisms that govern plasma—liquid interactions, including the formation of reactive species, their behavior in aqueous environments, and their influence on biological systems. Careful evaluation of energy efficiency is essential to determine whether these processes can be viable at larger scales. Equally important is strict adherence to safety standards, since the responsible implementation of plasma technologies in industrial and agricultural contexts must ensure both human and environmental well-being.

Because of the complexity of these challenges, my work places strong emphasis on interdisciplinary collaboration. It draws knowledge from plasma physics, chemistry, environmental science, biology, and agronomy in order to establish a solid scientific foundation for both current applications and future possibilities. My broader ambition is that this research will contribute to the emergence of a new scientific field that directly addresses environmental and agricultural concerns through plasma technology. By encouraging dialogue between scientific communities and promoting the responsible use of innovative methods, I hope my work will help define pathways toward practices that preserve natural resources, strengthen food security, and support global sustainability in the long term.

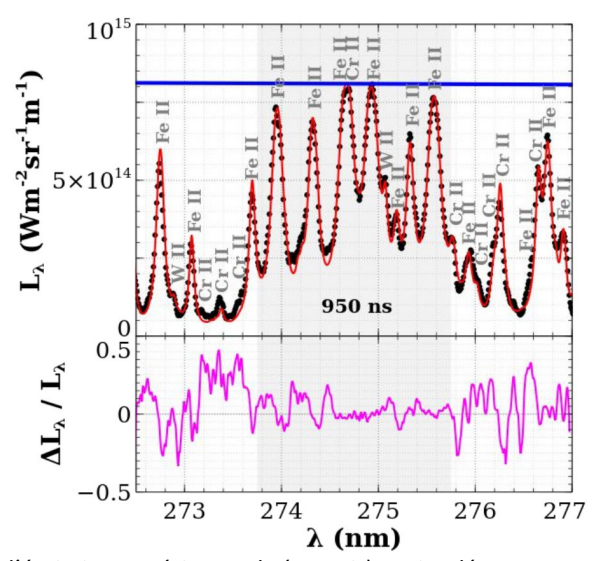
# Les plasmas induits par laser pour la quantification d'éléments légers en rétention dans les métaux – applications nucléaires

A. Favre<sup>1</sup>, A. Bultel<sup>1</sup>, E. Bernard<sup>2</sup>, F. Montupet-Leblond<sup>2</sup>, S. Peillon<sup>3</sup>, F. Gensdarmes<sup>3</sup>

mél: aurelien.favre@coria.fr

Les plasmas induits par laser peuvent être utilisés pour déterminer la composition multi-élémentaire d'échantillons solides, liquides ou gazeux. Éclairé par une impulsion laser focalisée, l'échantillon accède localement à des niveaux de température très élevés (quelques  $10^4$  K) permettant la production d'un plasma dont les niveaux de pression sont également très élevés (quelques GPa). Durant sa phase de recombinaison (quelques  $\mu$ s), un continuum est d'abord émis, qui fait ensuite place à de l'émission de raies ioniques puis atomiques. L'analyse de ce rayonnement peut conduire à la composition du plasma ainsi qu'à celle de l'échantillon si des hypothèses fondamentales sont remplies : parmi elles, l'équilibre thermodynamique local (ETL). Ce diagnostic est appelé « Laser-Induced Breakdown Spectroscopy » (LIBS). Lorsque la composition est déterminée par simulation du rayonnement observé sans utilisation d'étalons préalables, on parle de Calibration Free-LIBS (CF-LIBS).

Dans le cadre de cette communication, nous présentons d'abord la validation du code MERLIN qui permet la simulation de l'émission de n'importe quel mélange tant que les conditions thermodynamiques de ce dernier sont compatibles avec l'ETL (Fig. 1) [1]. Nous détaillons ensuite les capacités analytiques de ce code couplé aux méthodes de *machine learning* [2]. Enfin, nous discutons de ses performances pour la quantification du tritium en rétention solide [3][4] ou du deutérium en rétention dans des particules en suspension (aérosol) [5].



**Figure 1 :** Comparaison de l'émission expérimentale (en noir) et simulée par MERLIN (en rouge) d'un plasma induit par laser d'Eurofer97 en environnement d'Ar. La luminance spectrale du corps noir est indiquée en bleu.

### Références

[1] A. Favre et al., J. Quant. Spectro. Rad. Transf. 330, 109222 (2025)

[2] A. Favre et al., Spectrochim. Acta B 224, 107082 (2025)

[3] A. Favre et al., J. Nucl. Mat. 591, 154924 (2024)

[4] A. Favre et al., Phys. Src. 99, 035609 (2024)

[5] A. Favre et al., ASNR internal report No2025-00104 (2025)

Statut:

<sup>&</sup>lt;sup>1</sup>CORIA, UMR 6614, CNRS, URN & INSA Rouen, 76801 Saint-Etienne du Rouvray Cedex, France

<sup>&</sup>lt;sup>2</sup> CEA, IRFM, F-13108, Saint Paul-lez-Durance, France

<sup>&</sup>lt;sup>3</sup> IRSN, PSN-RES/SCA/LPMA, Saclay, Gif-sur-Yvette, 91192, France

Oraux - Jeunes

# Modeling Plasma-Dust Interactions in Argon CCRF Discharges

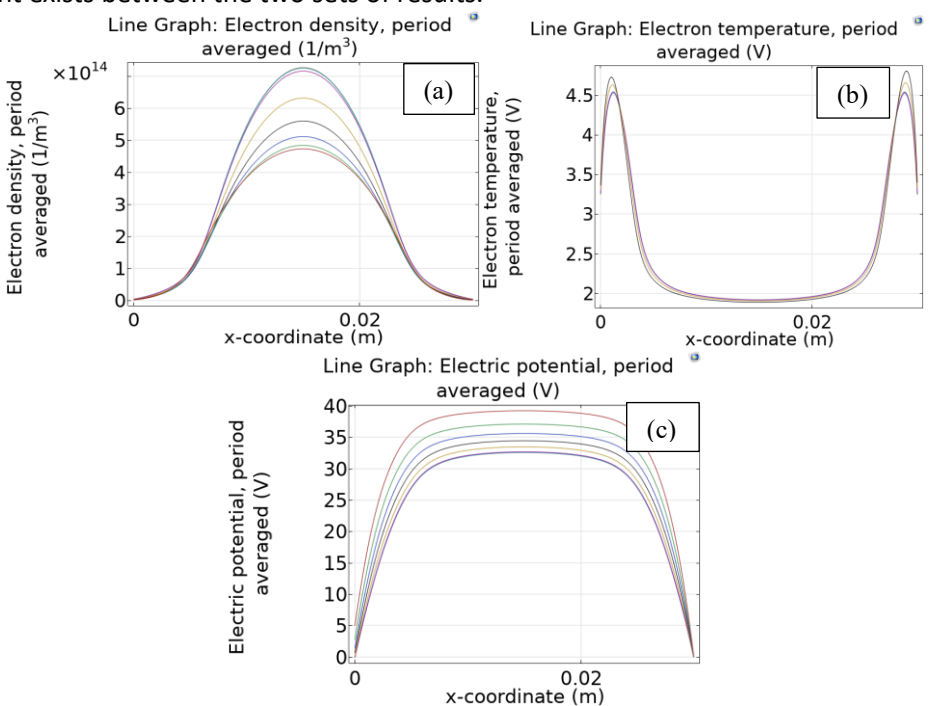
G. Saab<sup>1</sup>, C. Lahoud<sup>2</sup>, S. Youssef<sup>1</sup>, M. Mikikian<sup>3</sup>.

### Mél: ghinab.saab@gmail.com

Plasmas that contain dust, known as dusty plasma, are made up of electrons, ions, and charged solid particles. The dust can vary in size from nanometers to millimeters. These plasmas exist in nature, such as in space and planetary environments, and are also used in nanotechnology, microelectronics, and fusion devices.

The objective of this work is to study the effect of nanoparticles within plasma under different conditions. To achieve this, we will integrate the nanoparticles into the model, taking into consideration the fact that these particles become electrically charged within the plasma. This charge depends on the plasma parameters and, in turn, influences the surrounding plasma, resulting in a strong coupling of the equations.

To simulate a dusty radio-frequency argon discharge within a CCP reactor with dimensions following the PKE-Nefedov configuration [1], we will employ a one-dimensional fluid model using the Comsol 6.3 Software [2]. In this model, we will figure out the effect of dust nanoparticles on electron density, temperature, electric potential, and the dust charge number at different dust radius ranges. The results are compared to the findings from home-made simulations by Akdim et al [1]. Remarkably, a high level of agreement exists between the two sets of results.



**Figure 1**: Electron density (a), temperature (b), and electric potential (c) variations for several values of dust density at radius rd=100 nm

### Références

[1] M.R. Akdim, and W.J. Goedheer, "Modelling of voids in colloidal plasma", Phys. Rev. E., 65, 015401 (R) (2002)

[2] COMSOL Multiphysics, v.6.3, COMSOL AB, Stockholm, Sweden

<sup>&</sup>lt;sup>1</sup> Faculty of Engineering and Architecture, Saint Joseph University of Beirut, Beirut, Lebanon

<sup>&</sup>lt;sup>2</sup> University of Balamand, Faculty of Engineering, Al Koura Campus, P.O. Box 100 Tripoli, Lebanon

<sup>&</sup>lt;sup>3</sup> GREMI, UMR 7344, CNRS - Université d'Orléans, 14 rue d'Issoudun, BP6744, 45067 Orléans Cedex 2

# Alternative plasmonic nanomaterials based on transition metal nitrides: laser-ablative fabrication and appealing prospects for biophotonic applications

Andrei Pastukhov, Andrei V. Kabashin

Aix Marseille Univ, CNRS, LP3, 13288, Marseille, France

mél: andrei.pastukhov@univ-amu.fr

This presentation will overview results of our on-going activities on laser-ablative synthesis of nanomaterials of alternative plasmonics based on transition metal nitrides (TiN, ZrN, HfN) using femtosecond laser ablation in liquids. It will show how these nanostructures provide plasmonic resonances shifted into the biological transparency window, together with excellent stability, scalability, and biocompatibility, thus overcoming key limitations of noble metals. The presentation will describe TiN nanoparticles as sensitizers of photothermal therapy [1] and contrast agents in photoacoustic imaging [2]. It will also highlight ZrN nanoparticles that combine strong plasmonic absorption with near-field enhancement, enabling both highly efficient photothermal therapy and sensitive SERS-based bioimaging [3]. Special attention will be given to HfN nanoparticles, which were synthesized in ultrapure form and exhibited exceptional photothermal conversion efficiency (~62%) along with theranostic potential linked to the high atomic number of hafnium, opening perspectives for combined photothermal and radiological applications [4]. The presentation will emphasize that all these nanomaterials are ligand-free, ultraclean, and colloidally stable, ensuring low cytotoxicity and reliable biological performance. In vitro experiments confirmed their excellent compatibility with living systems, while surface modifications such as PEGylation further extended their biomedical usability. Taken together, these studies demonstrate that transition metal nitride nanoparticles represent a new generation of plasmonic nanomaterials with broad prospects for cancer phototherapy, multimodal imaging, biosensing, and advanced nanomedicine.

#### Références

[1] A. A. Popov, et al, Sci. Rep. 9, 1194 (2019).

[2] A. Das, et al, Appl. Phys. Lett. 121, 083701 (2022).

[4] A. I. Pastukhov et al, ACS Appl. Nano Mater. 7, 18737 (2024)

[5] A. I. Pastukhov et al, Nanoscale, 16, 17893 (2024).

**Statut: post-doc** 

# Claquage aux distances sub-micromètrique : si Paschen avait su

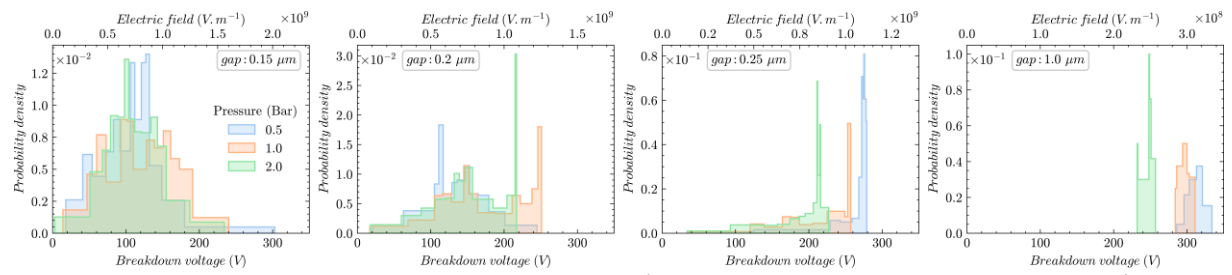
B. Disson, <sup>1</sup> N. Bonifaci, <sup>2</sup> R. Dussart, <sup>1</sup> O. Lesaint, <sup>2</sup> C. Poulain, <sup>3</sup> and S. Iseni <sup>1</sup>

mél: baptiste.disson@univ-orleans.fr

La tension de claquage d'un gaz peut être prédit en bonne approximation par l'intermédiaire de la loi empirique de Paschen. Cette approche décrit les processus d'ionisation de Townsend et suggère que la tension de claquage (V<sub>b</sub>) devrait augmenter pour un faible écart entre les électrodes.

Cependant, de nombreuses études expérimentales et de simulations ont montré une chute de  $V_b$  pour des distances inter-électrodes, inférieures à 1 micromètre [1]. Cela remet en question les capacités d'isolation des gaz pour de faibles distances inter-électrodes : c'est donc une problématique majeure compte tenu de la miniaturisation des systèmes électroniques [2].

Ces travaux expérimentaux introduisent une nouvelle méthode pour d'étudier les déviations par rapport à la loi de Paschen : l'approche et l'analyse statistique.  $V_b$  est mesurée pour des décharges dans l'argon à différentes pressions (0,5 - 2 bar) entre des électrodes en or espacées de 100 $\pm$ 25 nm à 6,0  $\mu$ m.



**Figure 1 :** Histogramme des tensions de claquage dans l'argon pour des distances allant de  $0.15~\mu m$  à  $1~\mu m$ 

En s'assurant de la répétabilité de l'expérience, faire un grand nombre de mesure de la tension de claquage permet d'estimer la fonction de densité de probabilité. Cette dernière met en évidence deux populations et donc une compétition entre deux mécanismes. L'une des populations dépend de la phase gazeuse semblant suivre la théorie de Paschen, l'autre se produit toujours à la même valeur de champs électrique cohérente avec celle attendu pour des émissions de champ.

Les résultats de cette étude sont disponibles dans [3]

### Remerciements

Cette recherche a été entièrement soutenue par l'Agence nationale de la recherche française (ANR) dans le cadre du projet MIDICODE (ANR-22CE51-0022-01).

### Références

[1] D B Go and A Venkattraman 2014 J.Phys.D:Appl.Phys. 47 503001

[2] C H Chen, J Andrew Yeh and P J Wang 2006 J. Micromech. Microeng. 16 1366–1373

[3] J. Croyé, A.T. Mesur, A. Larache, J. Optimistic Exp. 96, 69 (2018)

[4] B. Disson, N. Bonifaci, O. Lesaint, C. Poulain, R. Dussart and S. Iséni, 2025, Phys. Rev. E, accepted

<sup>&</sup>lt;sup>1</sup> GREMI, UMR 7344 CNRS / Université d'Orléans, Orléans, FRANCE

<sup>&</sup>lt;sup>2</sup> G2ELab UMR 5269 CNRS, Univ. Grenoble Alpes, Grenoble INP, Grenoble, FRANCE

<sup>&</sup>lt;sup>3</sup> Université Grenoble Alpes, CEA, Leti, Grenoble, France

# Diagnostic de plasmas d'arc en courant continu en conditions aéronautiques : application à la détection

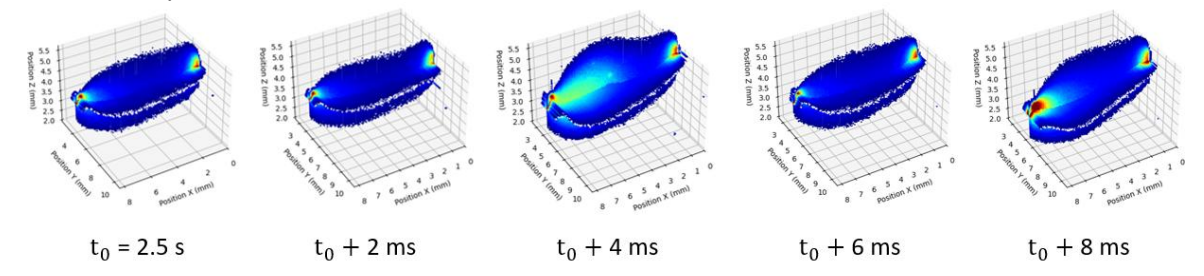
A. Hellé<sup>1</sup>, R. Hugon<sup>1</sup>, F. Brochard<sup>1</sup> et G. Marcos<sup>1</sup>

La détection des défauts d'arc électrique constitue un défi majeur pour l'électrification des systèmes de transport, en particulier dans le secteur aéronautique, ainsi que pour l'adoption généralisée des systèmes d'alimentation en courant continu (DC). Pour répondre à cette problématique, des méthodes de détection prometteuses exploitent l'apprentissage automatique afin d'identifier la formation de plasma d'arc au sein de réseaux de câbles complexes. Toutefois, ces méthodes reposent sur de vastes bases de données difficiles à constituer et à valider. Le renforcement de la fiabilité de ces bases de données, grâce à une compréhension physique plus approfondie du comportement des arcs est donc essentiel.

Notre approche repose sur l'analyse des fortes perturbations observées dans les mesures électriques après l'amorçage du plasma d'arc [1]. En employant des techniques avancées de diagnostic du plasma, incluant la stéréoscopie par caméra rapide, la spectroscopie d'émission optique et les mesures électriques, nous visons à affiner la compréhension du comportement du plasma d'arc dans des conditions de défaut aéronautiques. Cela permettra d'identifier des descripteurs clés et leur corrélation avec la dynamique du plasma, conduisant ainsi à des méthodes de détection des défauts d'arc plus précises et plus robustes.

Cette approche permet déjà de corréler les fluctuations électriques avec les phénomènes d'interaction plasma-surface. La surface des matériaux en contact avec le pied d'arc subit un échange d'énergie intense. L'interface entre le plasma d'arc et l'électrode est principalement composée de métal liquide qui peut être libéré dans le plasma. La corrélation entre l'éjection de gouttelettes et les pics de courant sera discutée, ainsi qu'une compréhension approfondie de ce phénomène obtenue grâce à des méthodes de suivi d'objets. La signature des explosions de bulles de métal liquide a également été identifiée, et nous démontrerons comment elle pourrait être utilisée pour la détection de défauts d'arc dans des conditions aéronautiques, au moyen d'une première approche de détection automatique [1].

Afin d'étudier la dynamique de la formation des bulles et son lien avec les interactions plasmaélectrode, le comportement du plasma d'arc a enfin été analysé par stéréoscopie ultra rapide permettant une reconstruction 3D (Figure 1). Ces mesures apportent des informations précieuses sur les interactions plasma-électrode en étudiant le mouvement du pied d'arc ainsi que la déformation de la colonne de plasma.

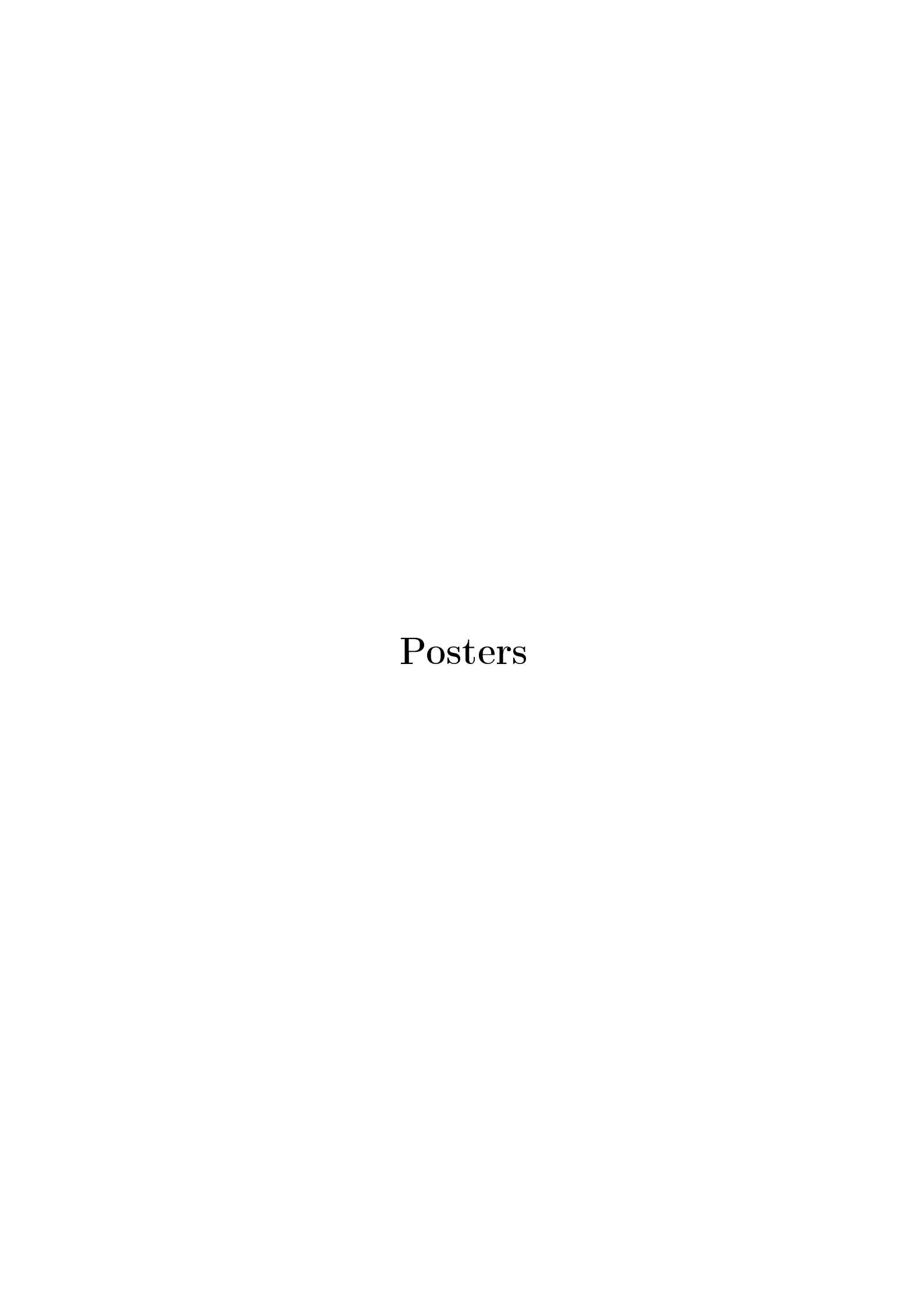


**Figure 1 :** Evolution au cours du temps d'un plasma d'arc reconstruit en 3 dimensions à partir d'un montage de stéréoscopie ultra rapide

#### Référence

[1] A. Hellé, R. Hugon, F. Brochard, G. Marcos, Journal of Physics D: Applied Physics 57, 425201 (2024) Statut: doc3

<sup>&</sup>lt;sup>1</sup> Université de Lorraine, CNRS, Institut Jean Lamour UMR 7198, Nancy, France mél: arthur.helle@univ-lorraine.fr



# Atomistic investigation of the oxidation and laser synthesis of nickel nanoparticles

A. Toulil<sup>1</sup>, E. Kachan<sup>1</sup>, YG. Yingling<sup>2</sup>, TE. Itina<sup>1</sup>

mél: abderrazak.toulil@univ-st-etienne.fr

Nickel nanoparticles (NiNPs) exhibit unique magnetic and chemical properties that make them attractive for applications in catalysis, sensing, and nanotechnology. In this study, reactive molecular dynamics simulations were used to investigate the oxidation behavior of NiNPs in oxygen-rich environments, focusing on the roles of particle size, temperature, and pulsed thermal excitation. The results reveal that oxidation proceeds via a surface-limited mechanism, with reaction rates increasing systematically with nanoparticle diameter and temperature. Simulated pulsed heating, designed to mimic femtosecond laser excitation, significantly enhances oxidation by inducing transient high-temperature conditions that promote irreversible surface reactions. These findings provide fundamental insight into the size- and temperature-dependent oxidation dynamics of NiNPs and underscore the importance of laser-induced thermal histories in controlling their reactivity during laser-based processing or synthesis.

**Keywords**: Nanoparticles, Laser, Oxidation, Molecular Dynamics.

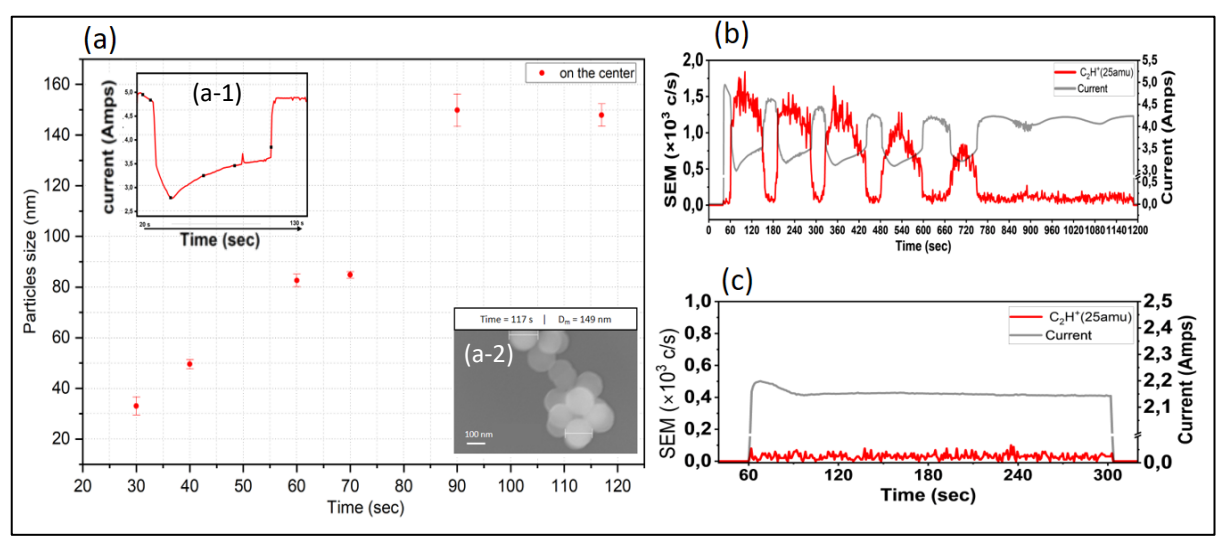
<sup>&</sup>lt;sup>1</sup> UJM-Saint-Etienne, CNRS, Laboratoire Hubert Curien UMR5516CNRS, F-42000, Saint-Etienne, Loire, France.

<sup>&</sup>lt;sup>2</sup> Department of Materials Science and Engineering, North Carolina State University, Raleigh, North Carolina 27695, United States.

# Characterization of Nanoparticle Growth and Plasma Chemistry in Methane/Argon Capacitively Coupled RF Plasma

A.R Daher<sup>1</sup>, L. Gimenez<sup>1</sup>, I. Géraud-Grenier<sup>2</sup>, A. Caillard<sup>1</sup>, M.Mikikian<sup>1</sup>

Reactive plasmas based on hydrocarbon gases are pivotal in the synthesis of carbon-based nanomaterials, with applications spanning optoelectronics, microelectronics, and energy storage. A critical challenge in plasma research is the precise control of nanoparticle growth and transport dynamics to optimize their functional properties [1]. In this study, we investigate methane reactivity in a low-pressure, capacitively coupled radio-frequency plasma using multiple diagnostic techniques. We characterize nanoparticle growth dynamics during cyclic growth processes using scanning electron microscopy, quartz crystal microbalance, and discharge current measurements. Additionally, we analyze plasma chemistry by tracking the temporal evolution of key neutral and ionic species via mass spectrometry (MS) [2]. Results indicate that nanoparticle size increases nearly linearly, reaching a critical diameter of approximately 150 nm by the end of a growth cycle (Figure 1-a). MS data reveal that  $C_2H^+$  ions are produced during nanoparticle growth (Figure 1-b), while no  $C_2H^+$  formation is observed under dust-free plasma conditions (Figure 1-c). This suggests that  $C_2H^+$  plays a critical role in the mechanisms driving NP formation.



**Figure 1.** (a) Nanoparticle growth during a generation cycle: (a-1) discharge current indicating measurement points; (a-2) SEM image at the end of the cycle at 117 s showing spherical morphology and particle size. Temporal evolution of  $C_2H^+$  ions in (b) dusty plasma and (c) dust-free plasma conditions.

### Références

[1] Z. Marvi, E. von Wahl, T. Trottenberg, and H. Kersten, "Spatiotemporal sampling of growing nanoparticles in an acetylene plasma," J. Appl. Phys., vol. 127, no. 17, p. 173301, (2020).

[2] C. Deschenaux, A. Affolter, D. Magni, C. Hollenstein, and P. Fayet, "Investigations of CH<sub>4</sub>, C<sub>2</sub>H<sub>2</sub>, and C<sub>2</sub>H<sub>4</sub> dusty RF plasmas by means of FTIR absorption spectroscopy and mass spectrometry," J. Phys. D, Appl. Phys., vol. 32, no. 15, pp. 1876–1886, (1999).

<sup>&</sup>lt;sup>1</sup> GREMI - UMR7344, CNRS / Université d'Orléans, 14 rue d'Issoudun, 45067 Orléans, France.

<sup>&</sup>lt;sup>2</sup> GREMI - UMR7344, CNRS / Université d'Orléans, 63 rue de Lattre de Tassigny, 18020 Bourges, France mail: abdel-rahman.daher@univ-orleans.fr

# Characterization of the liquid surface deformation resulting from a pin-water discharge using free-surface synthetic Schlieren

F.Dyson<sup>1</sup>, E. Moreau<sup>1</sup>, T. Orriere<sup>1</sup>

This study deals with a three-dimensional measurement of the water surface during pin-water plasma interaction. Different discharge regimes are studied, from onset corona to stable glow by applying a slow triangle waveform. The effect of different liquid conductivities on the deformation of the liquid electrode is also studied.

Plasma discharges in contact with liquids generate reactive species which drive a wide range of useful chemistries for relatively low energy input. Thus, plasma-liquid interactions have gathered a lot of attention in many areas of research [1]. The reactive species created in the gas phase must react with the liquid phase before they recombine and no longer contribute to the desired chemistry. Understanding the interface could provide useful insight for optimizing this. The liquid electrode in many configurations is deformed, by the electric field, ionic wind or other phenomena, which will modify the electric field and the discharge. Few papers have studied experimentally the shape of the interface. Using the free-surface synthetic Schlieren (FS-SS) method detailed in [2], it is possible to measure the shape of the liquid electrode in three dimensions.

Our reactor consists of a tungsten needle ( $r = 100 \mu m$ ) placed 2 mm above the centre of the water contained in a cubic glass cuvette ( $30x30x30 \text{ mm}^3$ ). A platinum wire is placed in the water for grounding and a slow triangular wave is applied to the pin. The conductivity of the solution is varied from 0.2 to  $10.0 \text{ mS.cm}^{-1}$  by adding KCl. For the FS-SS measurements, light is shone through a motif situated above the water and reaches the lens of the camera placed below the cuvette. Shown in figure 1 is the height of the free-surface with a conductivity of 1 mS.cm<sup>-1</sup> at 1.7 kV.

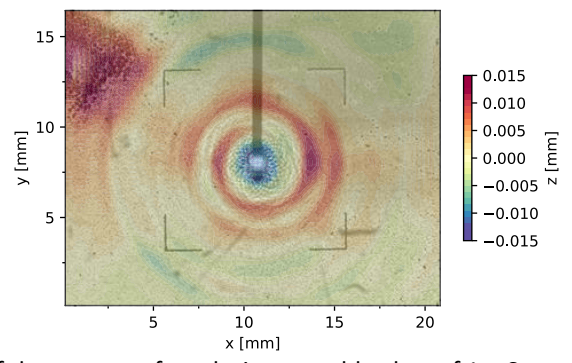


Figure 1: Height map of the water surface during unstable glow of 1 mS.cm-1 at 1.7 kV and 2.5 mA.

Capillary waves originate from the centre and propagate outwards with a wavelength of approximately 1.8 mm. In the top left corner, bubbles formed from electrolysis perturb the measurement. Omitting this, the surface reaches a maximum height of 13  $\mu$ m and a minimum of 12  $\mu$ m. During the positive half cycle, a Taylor cone appears at onset voltage, but soon after the surface is pushed inwards due to the presence of ionic wind. During the negative half cycle, the surface is pushed down with a wider depression than during positive voltage.

<sup>&</sup>lt;sup>1</sup> Institut PPrime, Université de Poitiers, ISAE ENSMA, CNRS, UPR 3346, Poitiers, France mél: fredric.dyson@univ-poitiers.fr

<sup>[1]</sup> Bruggeman, P. J. et al. Plasma Sources Sci. Technol., 25, 053002 (2016).

<sup>[2]</sup> Moisy, F., Rabaud, M. & Salsac, K. Exp Fluids, 46, 1021–1036 (2009).

# Guide d'onde plasma généré par filamentation laser dans l'air

N. Cantonnet-Paloque, T. Clark, M. R. Edwards, V. Perez-Ramirez, D. S. Singh, A. Houard

Les rayonnements térahertz sont utiles pour de nombreuses applications [1-2] mais leur propagation dans l'air reste limitée en raison de leur forte divergence. Une solution pourrait résider dans l'utilisation d'optiques plasma, et plus spécifiquement de guides d'onde plasma générés dans l'air. Parce que leur fréquence de Langmuir se situe dans le domaine THz, ces plasmas atmosphériques peuvent induire de fortes variations d'indices à ces longueurs d'onde, permettant de réaliser l'équivalent de fibres creuses ou de fibres à saut- d'indice [3].

Dans cette étude, nous proposons d'étudier le guidage de rayonnements térahertz dans un guide d'onde plasma cylindrique généré par un puissant laser. Ce guide repose sur la capacité des impulsions laser ultra-courtes à créer des canaux plasma de plusieurs mètres de long par filamentation [4-7]. La première étape consiste à étudier numériquement les paramètres optimaux du guide plasma, avant l'étude expérimentale (prévue en 2026).

Pour optimiser les paramètres du guidage, deux codes de simulation ont été utilisés. Le premier permet de modéliser les modes d'ondes pouvant se propager dans les guides d'ondes et ainsi d'étudier les caractéristiques idéales du plasma et ses dimensions afin d'obtenir la plus grande distance d'atténuation des térahertz dans un contexte expérimentalement réalisable [8]. En parallèle, un second code plus lourd a été utilisé afin d'analyser plus finement la propagation des térahertz dans ces guides [9], fournissant des estimations précises des longueurs d'atténuation.

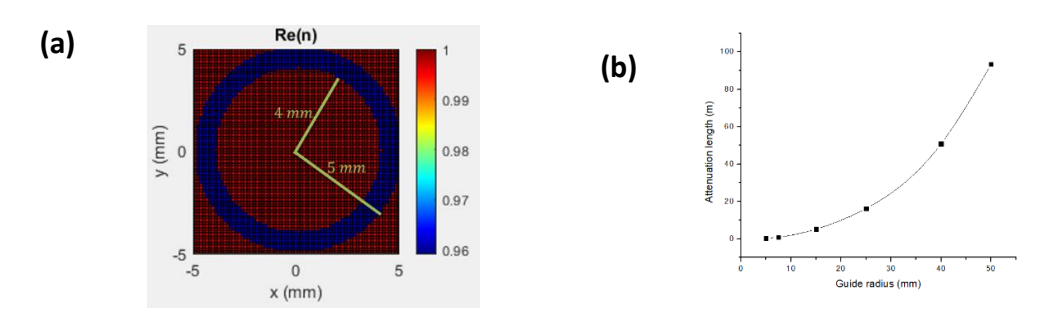


Figure 1 : (a) Carte 2D de la partie réelle de l'indice de réfraction calculée par le code. (b) Evolution de la longueur d'atténuation des terahertz dans le guide en fonction de son rayon.

### **References:**

- 1. V.P. Wallace et al. Faraday Discuss 126, 255 (2004).
- 2. H. H Nguyen Pham, et al. APL Photonics 2, 056106 (2017).
- 3. Musin et al., Appl. Opt. 46, 5593 (2007).
- 4. A. Couairon, and A. Mysyrowicz, Phys. Rep. 441, 47-189 (2007).
- 5. S. Fu, B. Mahieu, A. Mysyrowicz, A. Houard, Opt. Lett. **47**, 5228 (2022).
- 6. M. Alshershby, et al. J. Phys. D: Appl. Phys. 45, 265401 (2012).
- 7. M. Châteauneuf, Appl. Phys. Lett. 92, 091104 (2008).
- 8. A. Mendoza-Suarez, et al. J. Opt. Soc. Am. A 18, 961-965 (2001).
- 9. A. Couairon, et al. The European Physical Journal Special Topics 199, 5 (2011).

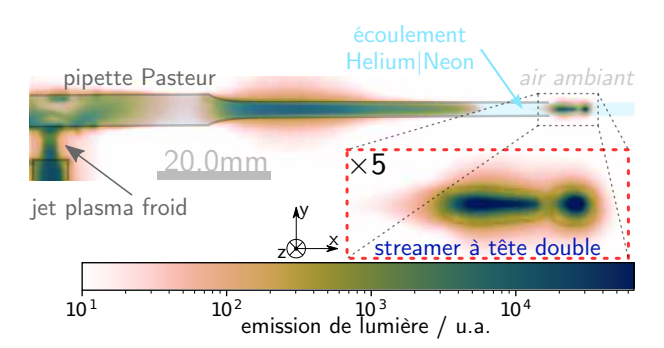
<sup>&</sup>lt;sup>1</sup>Laboratoire d'Optique Appliquée, ENSTA, CNRS, École Polytechnique, Institut Polytechnique de Paris, 181 Chemin de la Hunière, 91120 Palaiseau, France

<sup>&</sup>lt;sup>2</sup>SAPPHIRE Laboratory, Stanford University, 418 Panama Mall, CA 94305, Stanford, United States of America Email: nicolas.cantonnet@ensta.fr

# Graine de farfanet (sprite): le streamer à deux têtes s'invite au labo

<u>B. Disson</u><sup>1</sup>, G. B. Sretenović<sup>2</sup>, V. V. Kovačević<sup>2</sup>, N. Bonifaci<sup>3</sup>, C. Pichard<sup>4</sup>, C. Cachoncinlle<sup>1</sup>, A. Khacef<sup>1</sup> et S. Iséni<sup>1</sup>

Si l'origine de la foudre et autres phénomènes lumineux transitoires de la haute atmosphère terrestre font toujours l'objet de discussions, les hypothèses visant à mieux comprendre les conditions de leur existence s'affinent petit-à-petit. La présence d'une particule solide chargée (e.g. hydrométéore, poussière,...) est souvent considérée comme élément déclencheur de phénomènes électriques atmosphériques, rendant l'air soudainement conducteur avec le passage d'un courant électrique croissant : c'est le claquage du gaz. Cependant, des résultats issus de modélisations numériques -et publiés en 2012 [1], ont montré qu'il serait effectivement réaliste d'amorcer un phénomène de même nature par un autre mécanisme ; Ceci directement dans l'air -et donc sans la contribution d'une particule solide chargée- moyennant des conditions d'ionisations initialement réunies. La phase embryonnaire des Sprites, Elfes et autres farfadets (décharges atmosphériques naturelles) serait alors un streamer à double-tête. Ce concept a été initialement étudié théoriquement, servant de base à l'élaboration de modèles numériques pour simuler les décharges de type streamer à polarité positive et négative. En revanche, il semble qu'à l'évidence, aucun travail expérimental n'a pu jusqu'alors valider les conditions réelles de son existence. Notre étude présente la première expérience en laboratoire de streamer à double-tête visant à recréer un phénomène élémentaire observé dans la nature dès la fin des années 90 [2]. Ainsi, nous avons été en mesure de produire, un streamer à double-tête avec une grande reproductibilité et stabilité. Notre étude apporte à ce sujet multidisciplinaire une compréhension plus approfondie des processus physiques élémentaires pour soutenir la communauté des sciences de l'atmosphère au moyen d'un modèle expérimental.



**Figure 1**: Schéma du dispositif expérimental permettant, à partir d'un jet de plasma froid et d'une pipette Pasteur, de reproduire le phénomène élémentaire de streamer à tête double sans électrode. Ce dernier prend naissance dans un écoulement de gaz rare fendant l'air ambiant et permettant d'assurer la formation d'une colonne pré-ionisée, favorable à la création du phénomène.

#### Références

[1] N. Liu, B. Kosar, S. Sadighi, J. R. Dwyer, H. K. Rassoul, Phys. Rev. Lett. 109, 025002 (2012). [2] S. Iseni et al., Phys. Rev. E. 111, L023202 (2025).

Statut: Doctorant 3e année

<sup>&</sup>lt;sup>1</sup> Groupe de Recherches sur l'Énergétique des Milieux Ionisés (GREMI)-UMR7344 CNRS / Université d'Orléans, 45067 Orléans, FRANCE

<sup>&</sup>lt;sup>2</sup> Faculty of Physics, University of Belgrade, PO Box 44, 11000 Belgrade, SERBIE

<sup>&</sup>lt;sup>3</sup> Laboratoire de Génie Électrique de Grenoble (G2Elab) -UMR5269 CNRS / Grenoble INP / Université Grenoble Alpes, 38042 Grenoble, FRANCE

<sup>&</sup>lt;sup>4</sup> Polytech Orléans, Université d'Orléans, 45067 Orléans, FRANCE mél: sylvain.iseni@univ-orleans.fr

# Meter-scale streamer discharges assisted by femtosecond laser filamentation

Thomas Clark, Quentin Gutierrez, Leonid Arantchouk, Magali Lozano, and Aurelien Houard

Laboratoire d'Optique Appliquée, ENSTA, Ecole Polytechnique, CNRS, Institut Polytechnique de Paris, 828 Boulevard des Maréchaux, 91762 Palaiseau Cedex, France

Email: <u>Thomas.clark@ensta.fr</u>

The advent of intense ultrashort laser systems (P > 5 GW,  $\tau$  < 1 ps) has demonstrated their ability to generate weakly ionized plasma columns in the atmosphere [1]. Known as femtosecond laser filamentation, this phenomenon has provided new tools for the control of high-voltage (HV) discharges. Laser filamentation has been actively investigated for triggering HV devices [2–4], generating plasma antennas [5], and controlling lightning [6, 7].

We used filaments induced by a femtosecond terawatt laser to control the propagation of a streamer discharge in air, over a distance of 1 m. This process gives rise to laser-guided spark discharges characterized by a straight geometry. A triggered Tesla voltage generator delivering voltage pulses up to 300 kV is used to produce the spark.

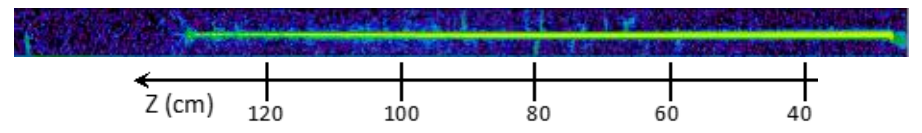


Figure 1: Fast camera image of a meter scale guided discharge

Using a fast camera and electric diagnostics we studied the development of the laser-guided discharges. We found that the presence of the filament modifies the characteristics of the streamers, a feature that remains poorly understood.

To investigate this guided streamer phase, we employed a drift–diffusion code called Chombo-Discharge [10] simulating the collisional front of the streamer in the presence of a laser filament. Preliminary results are presented here.

### References

- 1. A. Couairon and A. Mysyrowicz, Phys. Rep. 441, 47 (2007).
- 2. H. Pépin, et al., Phys. Plasmas 8, 2532 (2001).
- 3. M. Rodriguez, et al., Opt. Lett. 27, 772 (2002)
- 4. L. Arantchouk, et al., Appl. Phys. Letters 104, 103506 (2014).
- 5. Y. Brelet, et al. Applied Physics Letters **10**1 (26), pp.264106 (2012).
- 6. J.-C. Diels, et al. Sci. Am. 277, 50-55 (1997).
- 7. A. Houard, et al. Nat. Photon. 17, 231–235 (2023).
- 8. R. Marskar, Journal of Open-Source Software, 8(85), 5335 (2023).

# Première caractérisation d'un propulseur ECRA alimenté à l'iode

V. Désangles<sup>1</sup>, Q. Delavière--Delion<sup>1</sup>, S. Carere<sup>1,2</sup>, D. Packan<sup>1</sup>, F. Boni<sup>1</sup>, PQ. Elias<sup>1</sup>

La propulsion électrique des satellites, traditionnellement dépendante du xénon, est aujourd'hui confrontée à une hausse des coûts et à des difficultés d'approvisionnement. L'iode (I<sub>2</sub>), abondant et économique, émerge comme une alternative crédible, offrant des performances comparables au xénon [1,2]. Avec une masse atomique similaire mais une énergie d'ionisation plus faible (à la fois pour ses formes moléculaire et atomique), l'iode présente un avantage majeur : il peut être stocké sous forme solide, éliminant ainsi le besoin de systèmes haute pression, contrairement au xénon gazeux. Cependant, son utilisation impose deux défis : un chauffage préalable pour le transformer en gaz plasmagène, et une corrosivité qui limite le choix des matériaux, posant notamment problème pour l'adaptation des cathodes dans les propulseurs de Hall et à grilles de moyenne et haute puissance [1,3].

Pour contourner ces obstacles, nous explorons l'utilisation d'un propulseur sans cathode neutralisatrice de type propulseur à résonance cyclotronique des électrons (ECRT) avec le prototype ECRA développé à l'ONERA [4]. Ce système, basé sur une décharge plasma micro-ondes pour l'ionisation et le chauffage des électrons et une tuyère magnétique pour l'accélération des ions, a déjà démontré des performances prometteuses avec le xénon [2]. Avec l'iode, notre objectif est d'analyser la composition du plasma (ions  $I_2^+$ ,  $I^+$ ,  $I^-$ ) et son impact sur les performances du propulseur dans des conditions encore assez méconnues pour les plasmas d'iodes avec des basses pressions ( $\sim 10^{-5}$  mbar) et des hautes températures électroniques ( $\sim 30$  eV). Un banc d'essai dédié, équipé d'un système d'injection d'iode et d'un pompage cryogénique, a permis de réaliser des tests stables du propulseur ECRA sur plusieurs dizaines d'heures, sans dégradation visible du propulseur ou des équipements (figure 1, photographie de droite). Pour une analyse approfondie, le banc a été instrumenté avec des sondes de Faraday, de Langmuir, un RPA et une curling probe, afin de mesurer le flux ionique, la densité et la température électronique, ainsi que l'énergie des ions. Une ligne de spectroscopie d'émission optique complète ces diagnostics.



Figure 1: Propulseur ECRA en fonctionnement, de gauche à droite, avec de l'azote, du xénon et de l'iode.

Les résultats préliminaires révèlent des performances similaires entre l'iode et le xénon, suggérant une faible électronégativité du plasma d'iode. Ces observations ouvrent la voie à une étude plus intensive de la dynamique de l'iode dans les propulseurs ECRT.

### Références

[1] D. Rafalskyi, , J. M. Martínez, L. Habl, et al., Nature, 599, 7885, doi, (2021),

[2] J. Szabo, B. Pote, S. Paintal, et al., Journal of Propulsion and Power, vol. 28, no. 4, doi, (2012).

[3] P.S. Becke, N. G. Kottke, M. Vaupel et al., Journal of Electric Propulsion, 3, 1, doi, (2024)

[4] V. Désangles, D. Packan, J. Jarrige, S. Peterschmitt et al., Journal of Electric Propulsion, 2, 1, doi, (2023)

**Statut**: post-doc

<sup>&</sup>lt;sup>1</sup> ONERA-DPHY, Université Paris-Saclay, 91123 Palaiseau, France

<sup>&</sup>lt;sup>2</sup> Dipartimento di Elettronica, Politecnico di Torino, 10129 Torino, Italy mél: <a href="mailto:quentin.delaviere@onera.fr">quentin.delaviere@onera.fr</a>

# Study of filamentation phenomenon in an atmospheric pressure microwave plasma jet.

<u>B. J. Ganleu Monte<sup>1</sup></u>, C. Chazelas<sup>1</sup>, C. Dublanche-Tixier<sup>1</sup>, P. Tristant<sup>1</sup>, T. Belmonte<sup>2</sup>

mail: brice.ganleu monte@unilim.fr

The TIA (Torche à Injection Axiale) is a microwave plasma torch that generates microwave plasmas at atmospheric pressure in ambient air over a wide input power range (220 W to 1000 W). It is suitable for various applications including atmospheric pressure plasma enhanced chemical vapour deposition (AP-PECVD) processes [1]. In the present study, the TIA is employed for the deposition of titanium oxide thin films (TiO2) from titanium tetraisopropoxide (TTIP) vapor and argon as plasma gas for photovoltaic and photocatalytic applications [2-3]. It has been shown that the microstructure of the thin films depends not only on operating conditions, but also on the nature of the substrate and on its position along the discharge axis.

The plasma jet is described as being cone-like [4]. The lateral and radial profiles of the plasma parameters obtained by optical emission spectroscopy (OES) present off-axis maxima close to the nozzle and becomes Gaussian-like as we move away from the nozzle. This can be attributed to a filamentation phenomenon which occurs in the plasma as a result of the skin effect of the microwave field in the plasma [5].

The study of the plasma by fast camera imaging (at a record rate of 10 000 fps and exposure time of  $100 \, \mu s$ ) reveals that the filamentation phenomenon depends not only on the operating conditions but also on the presence and nature of a substrate. The number of filaments observed increases as the substrate is moved closer to the nozzle. It also modifies the diameter and light intensity of the plasma.

### References

- [1] Y. Gazal, C. Dublanche-Tixier, C. Chazelas, M. Colas, P. Carles, P. Tristant, Thin Solid Films, 600, 43-52, (2016).
- [2] A. Perraudeau, C. Dublanche-Tixier, P. Tristant, C. Chazelas, S. Vedraine, B. Ratier, EPJ Photovolt. 10, 5 (2019).
- [3] L. Renoux, Thèse de doctorat, Université de Limoges, 2022.
- [4] J. Jonkers, A. Hartgers, L. J. M. Selen, J. A. M. van der Mullen, D. C. schram, Plasma Sources Sci. Technol. 8, 49 -57 (1999).
- [5] Y. Kabouzi, M. Moisan, IEEE Trans. Plasma Sci. 33, 292 (2005).

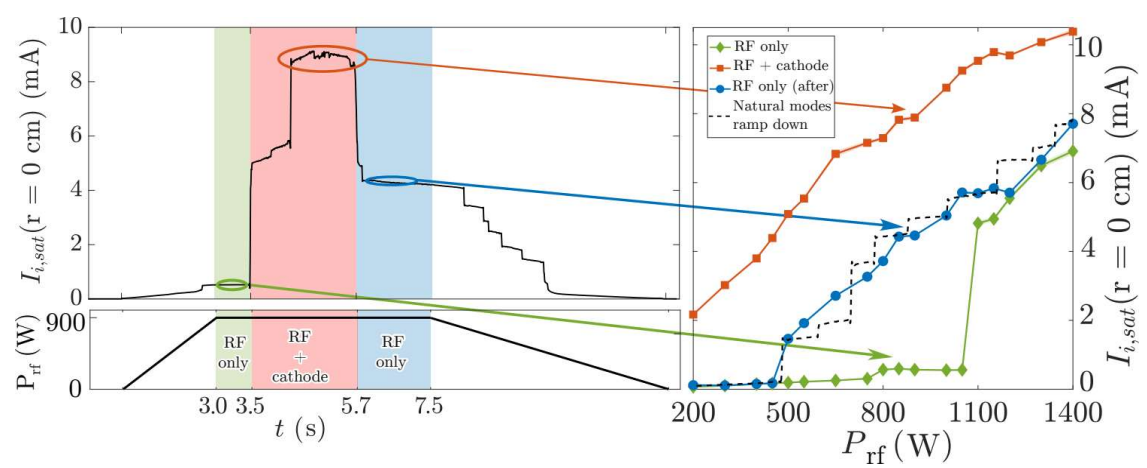
<sup>&</sup>lt;sup>1</sup> Université de Limoges, CNRS, IRCER, UMR 7315, F-87000 Limoges, France

<sup>&</sup>lt;sup>2</sup> Université de Lorraine, CNRS, IJL, UMR 7198, F-54000 Nancy, France

# Transition H-W déclenchée par injection de courant électronique

V. Desages<sup>1</sup>, N. Plihon<sup>1</sup>, V. Dolique<sup>1</sup>, F. Pagaud<sup>1</sup>

Ce travail expérimental porte sur une colonne de plasma froid dans un champ magnétique axial homogène de 180 G. Une antenne demie-hélice permet d'ioniser de l'argon à 0,13 Pa [1]. La nature du couplage entre le plasma et l'antenne dépend de la puissance RF  $P_{rf}$  fournie à cette dernière à 13,56 MHz. A basse puissance, le couplage est capacitif (E), puis inductif (H) à plus forte puissance. Passé une puissance seuil  $P_s$ , des ondes hélicons (W) stationnaires sont excitées dans la cavité, et le taux d'ionisation augmente d'un ordre de grandeur par rapport aux couplages à  $P_{rf} < P_s$ . Sans injection de courant électronique (courbe verte à droite),  $P_s = 1100$  W. Une fois le seuil franchit, une forte hystérésis est observée et des modes hélicons naturels de la cavité sont successivement excités lorsque  $P_{rf}$  est diminuée [2] (courbe pointillée à droite).



**Figure 1:** Densité au centre et  $P_{rf}$  en fonction du temps (gauche). Densité en fonction de  $P_{rf}$  (droite).

L'évolution temporelle à gauche montre l'effet d'une injection transitoire de courant (à 3,5 < t < 5,7 s) pour une puissance RF de 900 W. En présence d'injection de courant (courbe rouge à droite), la densité augmente très fortement, pour une puissance injectée par la cathode de l'ordre de 10 W. Après l'injection, la densité reste élevée (courbe bleue), et des mesures de sonde magnétique ont confirmé que ce régime correspond aux modes hélicons naturels obtenus lors de l'hystérésis sans injection. Pour le présent régime d'injection, le seuil d'excitation du mode hélicon est réduit à 500 W.

L'utilisation du code HELIC [4], qui résout les équations de Maxwell avec conditions aux limites pour un profil de densité donné en géométrie cylindrique, et donc les structures des modes hélicons de la cavité, a permis de fournir une interprétation. L'injection de courant augmente localement la densité au centre. Ceci modifie la puissance absorbée par le plasma  $P_{abs}$ , sans modifier la puissance perdue aux bords de la colonne  $P_{loss}$ . Les points de fonctionnements en régime stationnaire ( $P_{abs} = P_{loss}$ ) prédits avec injection sont des modes hélicons de plus hautes densités que ceux sans injection. Lorsque l'injection est stoppée, la densité élevée dans la cavité permet de maintenir les modes propres naturels.

### Références

- [1] Pagaud, F., PhD thesis, ENS de Lyon (2024). https://theses.hal.science/tel-04679798
- [2] Shinohara, S. (2022). High-Density Heliconplasma science. Dunod.
- [3] Pagaud, F., Dolique, V., Claire, N. and Plihon, N. (2023). Plasma Sources Science and Technology, 32(11):115019.
- [4] Arnush, D. (2000). Physics of Plasmas, 7(7):3042-3050.

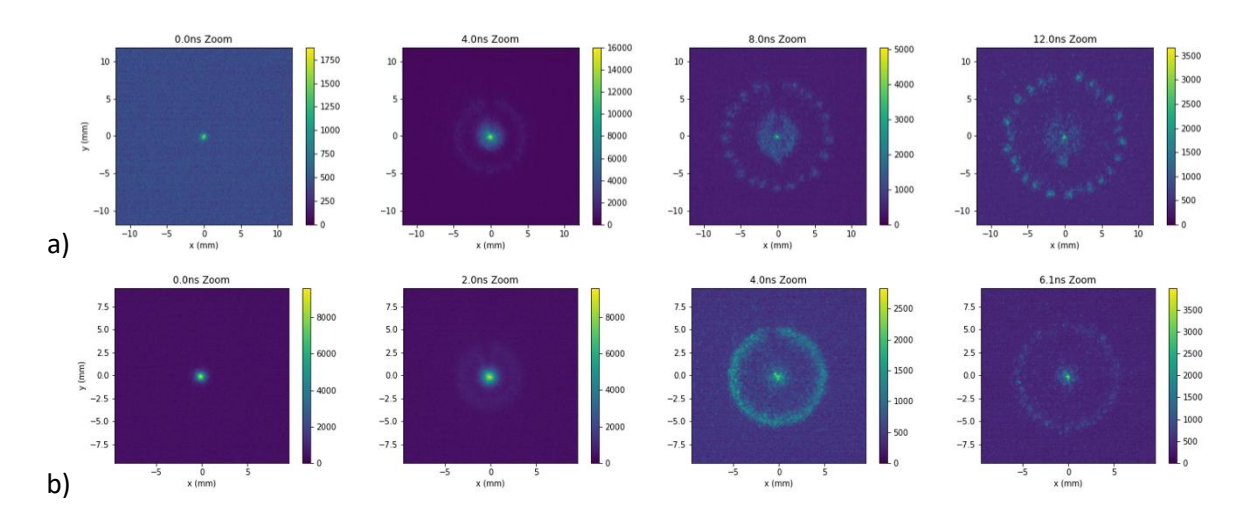
<sup>&</sup>lt;sup>1</sup> Univ Lyon, ENS de Lyon, CNRS, Laboratoire de Physique, F-69342 Lyon, France mél: vassili.desages@ens-lyon.fr

# Achieving diffuse propagation of cathode-directed surface ionization waves at atmospheric pressure, over liquid water

A. Brisset<sup>1</sup>, P. Tardiveau<sup>2</sup>

mél: alexandra.brisset@centralesupelec.fr

Diffuse propagation of a surface ionization wave over water is achieved at atmospheric pressure, in positive polarity, using high-voltage nanosecond pulses with ultra-fast rise times (20 kV/ns). The discharges are generated in a pin-to-surface configuration and can cover several cm² across a wide range of water conductivities (5-900  $\mu$ S/cm). Under moderate voltage rise rate (4 kV/ns) the discharge follows the usual 3 development stages ending with the formation of multiple streamers emerging simultaneously from an initial planar wave front (ionization instability) [1]. At higher voltage rise rates (20 kV/ns), the planar wave does not destabilize, and the discharge continues to propagate as a uniform, circular ring until the voltage drops. Conductivity variations (5–900  $\mu$ S/cm) do not prevent the diffuse propagation, however they influence propagation length, speed, and energy deposition. These findings suggest that high-voltage nanosecond pulses with steep rise times enable controlled, uniform SIW propagation at atmospheric pressure, over diverse dielectrics and in electronegative gases, using simple electrode setups. The authors know only one other work that achieved uniform propagation of cathode-directed nanosecond discharge at atmospheric pressure, by using a very specific bilayer material Si-SiO<sub>2</sub> [2]. In the present work, greater versatility of surface conditions is achieved.



**Figure 1**: Optical emission of the surface discharge generated in ambient air over water 5  $\mu$ S/cm (a) 20 kV - 1 ns rise time - 4 ns duration, (b) 20 kV - 5 ns rise time - 15 ns duration. Gate width 500 ps. Time 0 corresponds to the time when light emission starts to be detected at the pin.

### **Remerciements:**

The authors are thankful to T. Darny for fruitful discussions.

#### Références

- [1] Herrmann et al. Plasma Sources Sci. Technol. 34 (2025) 015004
- [2] Darny T. et al Plasma Sources Sci. Technol. 29 (2020) 065012

**Statut: Permanent** 

<sup>&</sup>lt;sup>1</sup> EM2C, Université Paris-Saclay, CNRS, CentraleSupélec, Gif-sur-Yvette, France

<sup>&</sup>lt;sup>2</sup>LPGP, Université Paris-Saclay, CNRS, Gif-sur-Yvette, France

# Étude de l'effet de vent ionique généré entre deux plaques dans l'air à pression atmosphérique par vélocimétrie par images de particules

# T.Orrière

Institut PPrime, Université de Poitiers-ENSMA, CNRS, UPR 3346, Poitiers, France mél: thomas.orriere@univ-poitiers.fr

Cette étude s'intéresse à la génération et à la caractérisation du vent ionique produit entre deux plaques parallèles à l'aide d'un microplasma pulsé nanoseconde répétitif. Le microplasma est généré au sein d'une cavité située sur l'une des plaques, tandis qu'un champ électrique continu est appliqué entre les deux plaques. Dans cette configuration, des écoulements gazeux atteignant des vitesses de l'ordre de 4 m.s<sup>-1</sup> ont été observés et analysés par vélocimétrie par images de particules (PIV) bidimensionnelle à deux composantes, à une fréquence d'échantillonnage de 10 kHz. Les mesures simultanées de tension, de courant et de courant continu traversant les plaques ont permis de corréler les données de courant enregistrées avec les accélérations gazeuses obtenues par PIV haute vitesse, afin de déterminer les propriétés de transport des espèces chargées migrant du microplasma vers la plaque opposée.



Figure 1 : dispositif expérimental

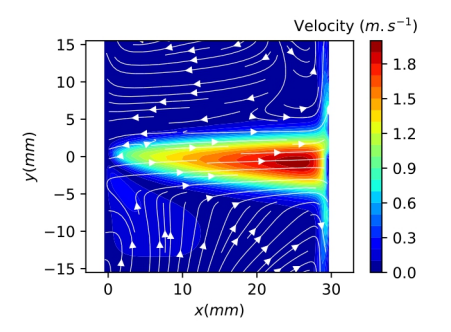


Figure 2 : Champ de vitesse du vent ionique généré à 1 kHz entre deux plaques

Le dispositif expérimental, illustré sur la figure 1, consiste en une plaque de 80 mm de diamètre, percée d'une cavité de 1 mm de diamètre, dans laquelle est généré le microplasma. Une seconde plaque, également de 80 mm de diamètre et polarisée à une haute tension de 40 kV, est placée à 30 mm de distance. Le microplasma est produit entre une électrode en forme de tige de 0,5 mm de diamètre, alimentée par des impulsions de 6 kV à une fréquence de 1 kHz, et la plaque mise à la masse. Dans ces conditions, les mesures PIV révèlent la formation d'un écoulement de type jet impactant, avec une vitesse maximale d'environ 2 m.s<sup>-1</sup> à proximité de la plaque haute tension, comme le montre la figure 2. Les mesures résolues en temps permettent d'évaluer les propriétés de transport des espèces chargées. Cette étude s'appuie sur un concept introduit dans des travaux antérieurs [2]. Les résultats obtenus permettent de mieux comprendre les mécanismes de génération du vent ionique et d'optimiser les dispositifs pour des applications industrielles et technologiques.

#### Références

[1] Johnson, M. J., & Go, D. B. (2017). Recent advances in electrohydrodynamic pumps operated by ionic winds: a review. PSST, 26(10), 103002.

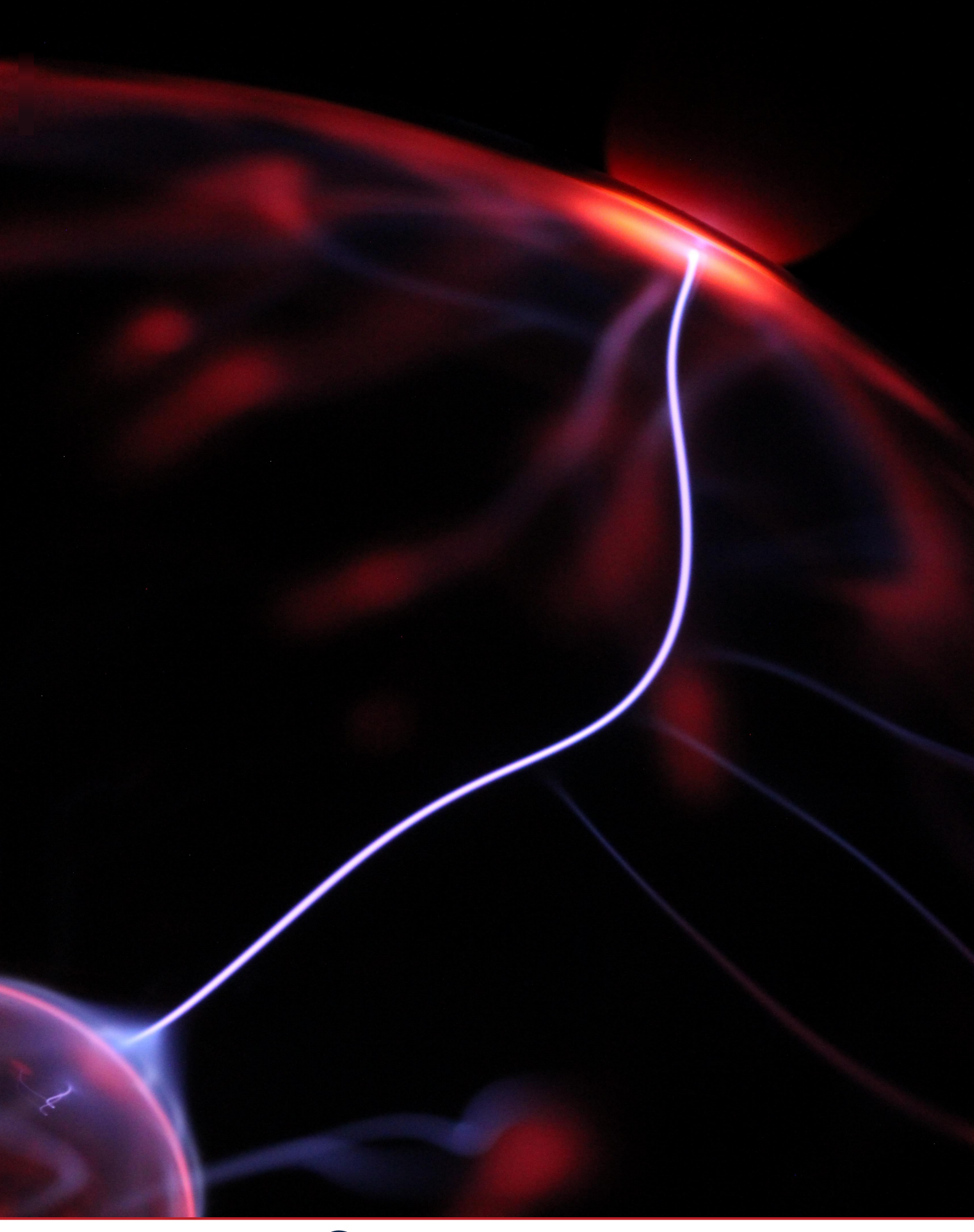
[2] Orrière, T., Moreau, É., & Pai, D. Z. (2019). Electric wind generation by nanosecond repetitively pulsed microplasmas. J. Phys. D, 52(46), 464002.

**Statut: Permanent** 

# Liste des auteurs

Belmonte Thierry       56         Bernard Elodie       40         Bonifaci Nelly       45, 53         Booth Jean-Paul       15, 29         Bravo Sophie       29         Brisset Alexandra       58	В	Granier Agnès21
Bernard Elodie	Belinger Antoine	Guaitella Olivier29
Benia   Bonifaci Nelly   45, 53   Hellé Arthur   46   Booth Jean-Paul   15, 29   Houard Aurélien   32   Bravo Sophie   29   Brisset Alexandra   58   Brochard Frédéric   46   Brochard Frédéric   46   Invernizzi Laurent   36   Iseni Sylvain   53   Séni Sylvain   53   Séni Sylvain   53   Séni Sylvain   54   Seni Sylvain   54	Belmonte Thierry56	
Booth Jean-Paul   15, 29	Bernard Elodie	
Bravo Sophie   29	Bonifaci Nelly45, 53	
Brisset Alexandra	Booth Jean-Paul	
Brochard Frédéric   46	Bravo Sophie	Hugon Robert46
Bultel Arnaud	Brisset Alexandra 58	1
Seni Sylvain   53   Seni Sylvain   53   Seni Sylvain   45   Seni Sylvain   46   Seni Sylvain   46   Seni Sylvain   45   Seni Sylvain   46   Seni Sylvain   47   Seni Sylvain   48   Seni	Brochard Frédéric	 
C         Iséni Sylvain         45           Cachoncinlle Christophe         53         Itina Tatiana         49           Caillard Amaël         50         K           Cantonnet-Paloque Nicolas         52         Kabashin Andrei         22, 44           Carurde Guillaume         29         Kachan Elena         49           Cartry Gilles         23         Koacef Ahmed         53           Celestin Sebastien         30         Kogelschatz Martin         27           Chevet Julien         21         L         Kovačevič Vesna         53           Chevet Julien         21         L <td< td=""><td>Bultel Arnaud</td><td></td></td<>	Bultel Arnaud	
Cachoncinlle Christophe         53         Itina Tatiana         49           Caillard Amaël         50         K           Cantonnet-Paloque Nicolas         52         K           Caquineau Hubert         20         Kachan Elena         49           Carting Guillaume         29         Kachan Elena         49           Cartry Gilles         23         Khacef Ahmed         53           Celestin Sebastien         30         Kogelschatz Martin         27           Chazelas Christophe         56         Kovačević Vesna         53           Chevet Julien         21         L         L           Chouteau Simon         21         L         L           Chouteau Simon         21         L         Lesaint Olivier         45           Clark Thomas         54         Lesaint Olivier         45           Clergereaux Richard         28         M         Marcos Gregory         46           Curley Garett         29         M         Marcos Gregory         46           Daper Abdel Rahman         50         Mikikian Maxime         43           Dap Simon         20, 29         Montupet-Leblond Floriane         40           Desages Vassili         57		
Caillard Amaël   50	_	
Cantonnet-Paloque Nicolas         52         Kabashin Andrei         22, 44           Caquideau Hubert         20         Kachan Elena         49           Caruide Guillaume         29         Kachan Elena         49           Carty Gilles         23         Kogelschatz Martin         27           Clast Ghristophe         56         Kovačević Vesna         53           Chevet Julien         21         L         L           Chouteau Simon         21         Laboud Chawki         43           Clark Thomas         54         Lesaint Olivier         45           Curley Garett         29         M           D         Makasheva Kremena         28           Curley Garett         29         M           D         Marcos Gregory         46           Dap Simon         20         Montupet-Leblond Floriane         43           Delayière—Delion Quentin         31, 55         Moreau Eric         51           Desages Vassili         57         Naude Nicolas         20, 28, 29           Dozias Sebastien         16         Nguyen Truong Son         39           Dublanche-Tixier Christelle         56         Orriere Thomas         51, 59           Désangles V	-	nina fatiana49
Cartonnet-Paloque Nicolas   52		K
Caquineau Hubert         20         Kachan Elena         49           Carnide Guillaume         29         Khacef Ahmed         53           Cartry Gilles         23         Kogelschatz Martin         27           Chazelas Christophe         56         Kovačević Vesna         53           Chevet Julien         21         L         L           Chouteau Simon         21         Lahoud Chawki         43           Clark Thomas         54         Lesaint Olivier         45           Clergereaux Richard         28         Macasheva Kremena         28           Curley Garett         29         M           D         Makasheva Kremena         28           Curley Garett         29         M           Dap Simon         20, 29         Mikikian Maxime         43, 50           Macros Gregory         46         Mikikian Maxime         43, 50           Moreau Eric         51         Moreau Eric         51           Desages Vassili         57         N         Nude Nicolas         20, 28, 29           Dolique Vincent         57         Naude Nicolas         20, 28, 29           Dozias Sebastien         16         Nguyen Truong Son         39		
Cartry Gilles         23         Khacef Ahmed         53           Celestin Sebastien         30         Kogelschatz Martin         27           Chazelas Christophe         56         Kovačević Vesna         53           Chevet Julien         21         L           Chouteau Simon         21         Lahoud Chawki         43           Clark Thomas         54         Lesaint Olivier         45           Cler gereaux Richard         28         Lesaint Olivier         45           Curley Garett         29         M         Makasheva Kremena         28           Curley Garett         29         Marcos Gregory         46           Dap Simon         20, 29         Montupet-Leblond Floriane         40           Delavière-Delion Quentin         31, 55         Moreau Eric         51           Disson Baptiste         45, 53         N           Dozias Sebastien         16         Nguyen Truong Son         39           Dublanche-Tixier Christelle         56           Dussart Rémi         45         O           Dyson Fredric         51         Orriere Thomas         51, 59           E         Packan Denis         55           El Farsy Abderzak         37<		· ·
Cartry Glies		
Celestri Sebastein   50		
Chazetas Christophe         50           Chevet Julien         21           Chouteau Simon         21           Clark Thomas         54           Clergereaux Richard         28           Curley Garett         29           M         Makasheva Kremena           Dap Simon         20           Dap Simon         20           Delavière-Delion Quentin         31,55           Desages Vassili         57           Disson Baptiste         45,53           Dozias Sebastien         16           Dublanche-Tixier Christelle         56           Dussart Remi         45           Obussart Remi         45           Désangles Victor         55           E         Packan Denis         51,59           Désangles Victor         55           F         Pastukhov Andrei         44           Peillon Samuel         40           Favre Aurélien         40         Pilhon Nicolas         19, 57           Poulain Christophe         45           Gensdarmes Francois         40         R           Ganleu Monte Brice Jordan         56           Gensdarmes Francois         40         R <t< td=""><td></td><td></td></t<>		
Chouteau Simon         21         Lahoud Chawki         43           Clark Thomas         54         Lesaint Olivier         45           Curley Garett         28         M           D         Makasheva Kremena         28           Daher Abdel Rahman         50         Mikikian Maxime         43, 50           Dap Simon         20, 29         Montupet-Leblond Floriane         40           Delavière-Delion Quentin         31, 55         Moreau Eric         51           Desages Vassili         57         Naude Nicolas         20, 28, 29           Dozias Sebastien         16         Nguyen Truong Son         39           Dublanche-Tixier Christelle         56         O           Dussart Rémi         45         O           Dyson Fredric         51         Orriere Thomas         51, 59           E         Packan Denis         55           El Farsy Abderzak         37         Pagaud Francis         57           Pastukhov Andrei         44           Particular Cecile         53           Plinon Nicolas         19, 57           Poulain Christophe         45           Gensdarmes Francois         40         R           Gensdarmes Franc		Rovacevic vesita
Clark Thomas		L
Clark Thomas         54         Lesaint Olivier         45           Clergereaux Richard         28         M         M           Curley Garett         29         M           D         Makasheva Kremena         28           Daher Abdel Rahman         50         Marcos Gregory         46           Dap Simon         20, 29         Montupet-Leblond Floriane         40           Delavière-Delion Quentin         31, 55         Moreau Eric         51           Desages Vassili         57         Naude Nicolas         20, 28, 29           Dozias Sebastien         16         Nguyen Truong Son         39           Dublanche-Tixier Christelle         56         O           Dyson Fredric         51         Orriere Thomas         51, 59           Désangles Victor         55         P           E         Packan Denis         55           El Farsy Abderzak         37         Pagaud Francis         57           Pastukhov Andrei         44           Favre Aurélien         40         Pichard Cecile         53           Plihon Nicolas         19, 57           Poulain Christophe         45           Gensdarmes Francois         40         R <td></td> <td>Lahoud Chawki</td>		Lahoud Chawki
Clergereaux Richard   28		
D		
D         Marcos Gregory         46           Daher Abdel Rahman         50         Mikikian Maxime         43, 50           Dap Simon         20, 29         Montupet-Leblond Floriane         40           Delavière-Delion Quentin         31, 55         Moreau Eric         51           Disson Baptiste         45, 53         N           Dolique Vincent         57         Naude Nicolas         20, 28, 29           Dozias Sebastien         16         Nguyen Truong Son         39           Dublanche-Tixier Christelle         56         O           Dussart Rémi         45         O           Dyson Fredric         51         Orriere Thomas         51, 59           Désangles Victor         55         P           E         Packan Denis         55           El Farsy Abderzak         37         Pagaud Francis         57           Pastukhov Andrei         44           Favre Aurélien         40         Pichard Cecile         53           Plihon Nicolas         19, 57           Ganleu Monte Brice Jordan         56           Gensdarmes Francois         40         R           Gherardi Nicolas         20         Richard-Plouet Mireille         21 </td <td>Curley Garett</td> <td>M</td>	Curley Garett	M
Daher Abdel Rahman         50         Marcos Gregory         40           Dap Simon         20, 29         Mikikian Maxime         43, 50           Delavière-Delion Quentin         31, 55         Montupet-Leblond Floriane         40           Desages Vassili         57         Moreau Eric         51           Disson Baptiste         45, 53         N           Dolique Vincent         57         Naude Nicolas         20, 28, 29           Dozias Sebastien         16         Nguyen Truong Son         39           Dublanche-Tixier Christelle         56         O           Dyson Fredric         51         Orriere Thomas         51, 59           Désangles Victor         55         P           E         Packan Denis         55           El Farsy Abderzak         37         Pagaud Francis         57           Pastukhov Andrei         44           Peillon Samuel         40           Favre Aurélien         40         Pichard Cecile         53           Poulain Christophe         45           Ganleu Monte Brice Jordan         56         R           Gensdarmes Francois         40         R           Gherardi Nicolas         20         Richard-Plouet Mire	D	Makasheva Kremena28
Dap Simon         20, 29         Montupet-Leblond Floriane         40, 50           Delavière-Delion Quentin         31, 55         Montupet-Leblond Floriane         40           Desages Vassili         57         Disson Baptiste         51           Disson Baptiste         45, 53         N           Dolique Vincent         57         Naude Nicolas         20, 28, 29           Dozias Sebastien         16         Nguyen Truong Son         39           Dublanche-Tixier Christelle         56         O           Dyson Fredric         51         Orriere Thomas         51, 59           Désangles Victor         55         P           E         Packan Denis         55           El Farsy Abderzak         37         Pagaud Francis         57           Pastukhov Andrei         44           Feavre Aurélien         40         Pichard Cecile         53           Plihon Nicolas         19, 57           Poulain Christophe         45           Gensdarmes Francois         40         R           Gherardi Nicolas         20         Richard-Plouet Mireille         21           Gimenez Loic         50         Robert Eric         16	_	Marcos Gregory 46
Delavière—Delion Quentin         31, 55         Moreau Eric         51           Desages Vassili         57         Naude Nicolas         20, 28, 29           Dozias Sebastien         16         Nguyen Truong Son         39           Dublanche-Tixier Christelle         56         O         39           Dussart Rémi         45         O         Orriere Thomas         51, 59           Désangles Victor         55         P         F         P           El Farsy Abderzak         37         Pagaud Francis         55         55           El Farsy Aurélien         40         Pichard Cecile         53           Favre Aurélien         40         Pichard Cecile         53           Poulain Christophe         45         7           Ganleu Monte Brice Jordan         56         8         7           Gensdarmes Francois         40         8         8           Gherardi Nicolas         20         Richard-Plouet Mireille         21           Gimenez Loic         50         Robert Eric         16		Mikikian Maxime
Desages Vassili         57           Disson Baptiste         45, 53         N           Dolique Vincent         57         Naude Nicolas         20, 28, 29           Dozias Sebastien         16         Nguyen Truong Son         39           Dublanche-Tixier Christelle         56         O           Dussart Rémi         45         O           Dyson Fredric         51         Orriere Thomas         51, 59           Désangles Victor         55         P           E         Packan Denis         55           El Farsy Abderzak         37         Pagaud Francis         57           Pastukhov Andrei         44           Favre Aurélien         40         Pichard Cecile         53           Poulain Christophe         45           Ganleu Monte Brice Jordan         56         R           Gensdarmes Francois         40         R           Gherardi Nicolas         20         Richard-Plouet Mireille         21           Gimenez Loic         50         Robert Eric         16		Montupet-Leblond Floriane40
Disson Baptiste         45, 53         N           Dolique Vincent         57         Naude Nicolas         20, 28, 29           Dozias Sebastien         16         Nguyen Truong Son         39           Dublanche-Tixier Christelle         56         O           Dussart Rémi         45         O           Dyson Fredric         51         Orriere Thomas         51, 59           Désangles Victor         55         P           E         Packan Denis         55           El Farsy Abderzak         37         Pagaud Francis         57           Pastukhov Andrei         44         40           Favre Aurélien         40         Pichard Cecile         53           Plihon Nicolas         19, 57         Poulain Christophe         45           Ganleu Monte Brice Jordan         56         R         R           Gensdarmes Francois         40         R         R           Gherardi Nicolas         20         Richard-Plouet Mireille         21           Gimenez Loic         50         Robert Eric         16		Moreau Eric
Dolique Vincent         57         Naude Nicolas         20, 28, 29           Dozias Sebastien         16         Nguyen Truong Son         39           Dublanche-Tixier Christelle         56           Dussart Rémi         45         O           Dyson Fredric         51         Orriere Thomas         51, 59           Désangles Victor         55         P           E         Packan Denis         55           El Farsy Abderzak         37         Pagaud Francis         57           Pastukhov Andrei         44           Favre Aurélien         40         Pichard Cecile         53           Plihon Nicolas         19, 57           Poulain Christophe         45           Ganleu Monte Brice Jordan         56           Gensdarmes Francois         40         R           Gherardi Nicolas         20         Richard-Plouet Mireille         21           Gimenez Loic         50         Robert Eric         16	9	••
Dozias Sebastien         16         Nguyen Truong Son         39           Dublanche-Tixier Christelle         56           Dussart Rémi         45         O           Dyson Fredric         51         Orriere Thomas         51, 59           Désangles Victor         55         P           E         Packan Denis         55           El Farsy Abderzak         37         Pagaud Francis         57           Pastukhov Andrei         44           Favre Aurélien         40         Pichard Cecile         53           Plihon Nicolas         19, 57           Poulain Christophe         45           Ganleu Monte Brice Jordan         56           Gensdarmes Francois         40         R           Gherardi Nicolas         20         Richard-Plouet Mireille         21           Gimenez Loic         50         Robert Eric         16		
Dublanche-Tixier Christelle         56           Dussart Rémi         45         O           Dyson Fredric         51         Orriere Thomas         51, 59           Désangles Victor         55           P         Packan Denis         55           El Farsy Abderzak         37         Pagaud Francis         57           Pastukhov Andrei         44           Favre Aurélien         40         Pichard Cecile         53           Plihon Nicolas         19, 57           Poulain Christophe         45           Ganleu Monte Brice Jordan         56           Gensdarmes Francois         40         R           Gherardi Nicolas         20         Richard-Plouet Mireille         21           Gimenez Loic         50         Robert Eric         16		
Dussart Rémi       45       O         Dyson Fredric       51       Orriere Thomas       51, 59         Désangles Victor       55         P       P         E       Packan Denis       55         El Farsy Abderzak       37       Pagaud Francis       57         Pastukhov Andrei       44         Favre Aurélien       40       Pichard Cecile       53         Plihon Nicolas       19, 57         Poulain Christophe       45         Ganleu Monte Brice Jordan       56         Gensdarmes Francois       40       R         Gherardi Nicolas       20       Richard-Plouet Mireille       21         Gimenez Loic       50       Robert Eric       16		Nguyen Truong Son 39
Dyson Fredric       51       Orriere Thomas       51, 59         Désangles Victor       55         P       P         E       Packan Denis       55         El Farsy Abderzak       37       Pagaud Francis       57         Pastukhov Andrei       44         Feavre Aurélien       40       Pichard Cecile       53         Plihon Nicolas       19, 57         Poulain Christophe       45         Ganleu Monte Brice Jordan       56         Gensdarmes Francois       40       R         Gherardi Nicolas       20       Richard-Plouet Mireille       21         Gimenez Loic       50       Robert Eric       16		0
Désangles Victor         55           E         Packan Denis         55           El Farsy Abderzak         37         Pagaud Francis         57           Pastukhov Andrei         44           F         Peillon Samuel         40           Favre Aurélien         40         Pichard Cecile         53           Plihon Nicolas         19, 57           Poulain Christophe         45           Ganleu Monte Brice Jordan         56           Gensdarmes Francois         40         R           Gherardi Nicolas         20         Richard-Plouet Mireille         21           Gimenez Loic         50         Robert Eric         16		<u> </u>
E       Packan Denis       55         El Farsy Abderzak       37       Pagaud Francis       57         Pastukhov Andrei       44         Favre Aurélien       40       Pichard Cecile       53         Plihon Nicolas       19, 57         Poulain Christophe       45         Ganleu Monte Brice Jordan       56         Gensdarmes Francois       40       R         Gherardi Nicolas       20       Richard-Plouet Mireille       21         Gimenez Loic       50       Robert Eric       16		Orriere Thomas51, 59
E       Packan Denis       55         El Farsy Abderzak       37       Pagaud Francis       57         Pastukhov Andrei       44         F       Peillon Samuel       40         Favre Aurélien       40       Pichard Cecile       53         Plihon Nicolas       19, 57         Poulain Christophe       45         Ganleu Monte Brice Jordan       56         Gensdarmes Francois       40       R         Gherardi Nicolas       20       Richard-Plouet Mireille       21         Gimenez Loic       50       Robert Eric       16	Desangles victor	D
El Farsy Abderzak       37       Pagaud Francis       57         Pastukhov Andrei       44         Favre Aurélien       40       Pichard Cecile       53         Plihon Nicolas       19, 57         Poulain Christophe       45         Ganleu Monte Brice Jordan       56         Gensdarmes Francois       40       R         Gherardi Nicolas       20       Richard-Plouet Mireille       21         Gimenez Loic       50       Robert Eric       16	E	•
F       Peillon Samuel       44         Favre Aurélien       40       Pichard Cecile       53         Plihon Nicolas       19, 57         Poulain Christophe       45         Ganleu Monte Brice Jordan       56         Gensdarmes Francois       40       R         Gherardi Nicolas       20       Richard-Plouet Mireille       21         Gimenez Loic       50       Robert Eric       16		
FPeillon Samuel40Favre Aurélien40Pichard Cecile53Plihon Nicolas19, 57Poulain Christophe45Ganleu Monte Brice Jordan56Gensdarmes Francois40RGherardi Nicolas20Richard-Plouet Mireille21Gimenez Loic50Robert Eric16	El Falsy Abdelzak	
Favre Aurélien 40 Pichard Cecile 53 Plihon Nicolas 19, 57 Poulain Christophe 45 Ganleu Monte Brice Jordan 56 Gensdarmes Francois 40 R Gherardi Nicolas 20 Richard-Plouet Mireille 21 Gimenez Loic 50 Robert Eric 16	F	
Ganleu Monte Brice Jordan	-	
GPoulain Christophe45Ganleu Monte Brice Jordan.56Gensdarmes Francois.40RGherardi Nicolas.20Richard-Plouet Mireille.21Gimenez Loic.50Robert Eric.16	Tavic Hulchell	
Ganleu Monte Brice Jordan	G	· · · · · · · · · · · · · · · · · · ·
Gensdarmes Francois40RGherardi Nicolas20Richard-Plouet Mireille21Gimenez Loic50Robert Eric16		i odiani Omistophe49
Gherardi Nicolas         20         Richard-Plouet Mireille         21           Gimenez Loic         50         Robert Eric         16		R
Gimenez Loic		

S	Toulil Abderrazak
Saab Ghina43	Tristant Pascal 56
Sopeña Pol	
Sretenovic Goran53	
Stafford Luc	Υ
Т	Yingling Yaroslava49
Tardiveau Pierre58	Youssef Sami





**GDR** Groupement de recherche **EMILI** Étude des milieux ionisés Plasmas froids créés par décharge

et laser